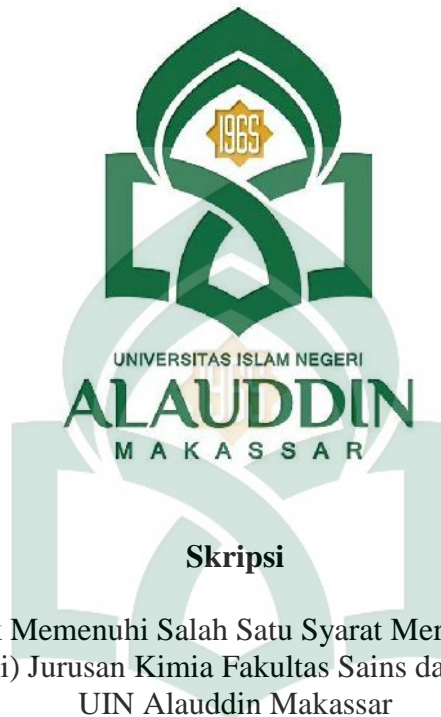


**EKSTRAKSI ZAT WARNA DAUN PARE (*Mordica Charantia*)  
DAN APLIKASINYA PADA *DYE SENSITIZED SOLAR CELL*  
(DSSC)**



**Skripsi**

Diajukan untuk Memenuhi Salah Satu Syarat Meraih Gelar Sarjana  
Sains (S.Si) Jurusan Kimia Fakultas Sains dan Teknologi  
UIN Alauddin Makassar

UNIVERSITAS ISLAM NEGERI  
**ALAUDDIN**

Oleh:

**WAHIDAH FEBRIYA RAMADHANI**

**NIM: 60500113072**

**FAKULTAS SAINS DAN TEKNOLOGI  
UNIVERSITAS ISLAM NEGERI ALAUDDIN  
MAKASSAR  
2017**

## PERNYATAAN KEASLIAN SKRIPSI

Mahasiswa yang bertanda tangan di bawah ini:

Nama : Wahidah Febriya Ramadhani  
NIM : 60500113072  
Tempat/Tgl. Lahir : Makassar/ 01 Februari 1996  
Jurusan : Kimia  
Fakultas : Sains dan Teknologi  
Alamat : Jalan Andi Tonro Perum Villa Permata blok F.10  
Judul : Ekstraksi Zat Warna Daun Pare (*Momordica Charantia.*) dan Aplikasinya pada *Dye Sensitized Solar Cell (DSSC).*

Menyatakan dengan sesungguhnya dan penuh kesadaran bahwa skripsi ini benar adalah hasil karya sendiri. Jika di kemudian hari terbukti bahwa ia merupakan duplikat, tiruan, plagiat atau dibuat oleh orang lain, sebagian atau seluruhnya, maka skripsi dan gelar yang diperoleh karenanya batal demi hukum.

Samata-Gowa, Oktober 2017

Wahidah Febriya Ramadhani  
NIM: 60500113072

## PENGESAHAN SKRIPSI

Skripsi yang berjudul "Ekstraksi Zat Warna Daun Pare (*Mordica Charantia*) dan Aplikasinya pada *Dye Sensitized Solar Cell* (DSSC)" yang disusun oleh Wahidah Febriya Ramadhani, NIM: 60500113072 mahasiswa jurusan Kimia pada Fakultas Sains dan Teknologi UIN Alauddin Makassar, telah diuji dan dipertahankan dalam sidang muaqasyah yang diselenggarakan pada hari jumat 17 Oktober 2017 bertepatan 27 Muharram 1439 H, dinyatakan telah dapat diterima sebagai salah satu syarat untuk memperoleh gelar sarjana dalam Ilmu Kimia, jurusan Kimia (dengan beberapa perbaikan).

Samata-Gowa, 17 Oktober 2017

27 Muharram 1439 H

### DEWAN PENGUJI :

Ketua	: Dr. Ir. A. Suarda., M.Si	(.....)
Sekretaris	: H. Asri Saleh, ST., M.Si	(.....)
Munaqisy I	: Asriani Ilyas, S.Si., M.Si	(.....)
Munaqisy II	: Dr. H. Aan Farhani, Lc., M.Ag	(.....)
Pembimbing I	: Aisyah S.Si., M.Si	(.....)
Pembimbing II	: Suriani S.Si., M.Si	(.....)

Diketahui Oleh,  
Dekan Fakultas Sains dan Teknologi  
UIN Alauddin Makassar



Prof. Dr. H. Arifuddin, M. Ag  
NIP. 19691205 199303 1 001

## KATA PENGANTAR

Alhamdulillah Wa Syukurillah penulis panjatkan kehadiran Allah SWT yang telah memberikan rahmat-NYA sehingga penulis mampu menyelesaikan skripsi ini dengan judul “Ekstraksi Zat Warna Daun Pare (*Momordica Charantia*) dan Aplikasinya pada *Dye Sensitized Solar Cell* (DSSC). Salawat dan Taslim tak lupa kita ucapkan kepada junjungan nabi besar yaitu nabi Muhammad SAW beserta keluarga dan para sahabatnya.

Penulis membuat skripsi sebagai salah satu syarat dalam memperoleh gelar Sarjana Sains Jurusan Kimia Fakultas Sains dan Teknologi Universitas Islam Negeri Alauddin Makassar. Dalam penulisan skripsi ini, penulis mengucapkan terima kasih atas bimbingan, kerja sama dan bantuan dari berbagai pihak sehingga skripsi dapat diselesaikan dengan baik dan tak lupa penulis mengungkapkan terima kasih kepada ibunda Hj Rugayyah dan seluruh keluarga atas doa dan dukungan selama penulis menempuh pendidikan hingga ke perguruan tinggi

Pada kesempatan ini juga, penulis mengucapkan terima kasih yang tulus kepada:

1. Prof. Dr. H. Musafir Pabbabari, M.Si, selaku Rektor Universitas Islam Negeri Alauddin Makassar.
2. Prof. Dr. H. Arifuddin, M.Ag, selaku Dekan Fakultas Sains dan Teknologi Universitas Islam Negeri Alauddin Makassar.
3. Sjamsiah, S.Si.,M.Si.,Ph.D, selaku Ketua Jurusan Kimia Fakultas Sains dan Teknologi Universitas Islam Negeri Alauddin Makassar.

4. Aisyah, S.Si.,M.Si., selaku Sekertaris Jurusan Kimia Fakultas Sains dan Teknologi Universitas Islam Negeri Alauddin Makassar sekaligus sebagai Pembimbing I dan Suriani, S.Si.,M.Si, selaku Pembimbing II. Terima kasih atas segala bimbingan, arahan dan bantuan selama berlangsungnya penelitian dan menyelesaikan skripsi ini.
5. Asriani Ilyas, S.Si.,M.Si, selaku Penguji I dan Dr. H. Aan Farhani, Lc., M.Ag selaku Penguji II. Terima kasi atas kritik dan saran yang diberikan.
6. Segenap Dosen Jurusan Kimia Fakultas Sains dan Teknologi Universitas Islam Negeri Alauddin Makassar terkhususnya dosen jurusan fisika Iswadi, S.Si.,M.Si. yang telah membagikan ilmunya selama menempuh pendidikan di Jurusan Kimia.
7. Seluruh staf dan karyawan Fakultas Sains dan Teknologi Universitas Islam Negeri Alauddin Makassar.
8. Seluruh laboran Jurusan Kimia Fakultas Sains dan Teknologi Universitas Islam Negeri Alauddin Makassar, terkhususnya Nuraini, S.Si, selaku laboran di Laboratorium Organik atas masukan dan kesabaran meluangkan waktu yang diberikan selama proses penelitian berlangsung.
9. Rekan seperjuangan dalam penelitian, Tim DSSC (Kurnia Arini Putri, Muharam, Jusnia, Nirma Nasir Putri, dan Halisa), Andi Fachrunnisa, Tim Kultur Jaringan, dan Tim Isolasi Bahan Alam yang selalu bersama berjuang dalam suka maupun duka. Terima kasih atas bantuan dan dukungannya sehingga penulis dapat menyelesaikan skripsi ini.
10. Rekan-rekan mahasiswa Jurusan Kimia Angkatan 2013 atas dukungnnya selama ini. semoga kalian semua menjadi orang yang mampu membagikan ilmunya dengan baik dan bermanfaat.

11. Teman-teman KKN Reguler Angkatan 54 Terkhusus posko desa Barugae yang selama ini memberikan masukan.

Dan terima kasih kepada keluarga dan semua pihak yang tidak disebutkan namanya satu persatu atas bantuan dan doa yang diberikan kepada penulis, semoga Allah membalas kebaikan kalian.

Penulis menyadari bahwa skripsi ini jauh dari kesempurnaan untuk itu kritik dan saran diharapkan mampu melengkapi kekurangan dalam penulisan skripsi ini. Akhir kata, semoga skripsi ini bermanfaat dalam perkembangan ilmu pengetahuan. *Nun Wal Qalami Wama Yasturunn* (Demi Pena dan Apa Yang diTuliskanNya). Wassalam.

Samata, Oktober 2016

Penulis

Wahidah Febriya Ramadhani  
NIM. 60500113072



UNIVERSITAS ISLAM NEGERI  
**ALAUDDIN**  
M A K A S S A R

## DAFTAR GRAFIK

Grafik 4.1. Kurva Hubungan Arus Terhadap Tegangan pada Ekstrak Gabungan Daun Pare .....	46
Grafik 4.2. Kurva Hubungan Arus Terhadap Tegangan pada Ekstrak Metanol Daun Pare .....	46
Grafik 4.3. Kurva Hubungan Arus Terhadap Tegangan pada Ekstrak Etil Asetat Daun Pare .....	47
Grafik 4.4. Kurva Hubungan Arus Terhadap Tegangan pada Ekstrak N-heksan Daun Pare .....	47



## DAFTAR TABEL

Tabel 2.1. Aproksimasi Jangkauan Panjang Gelombang Berbagai Warna dalam Spektrum Sinar Tampak .....	9
Tabel 2.2. Daerah Serapan Inframerah beberapa Ikatan Kimia .....	30
Tabel 2.3. Hasil Positif Uji Fitokimia .....	31
Tabel 4.1. Nilai Bobot Ekstrak Daun Pare .....	39
Tabel 4.2 Nilai Efisiensi Tertinggi Ekstrak Daun Pare .....	39
Tabel 4.3. Hasil Uji Skrining Fitokimia .....	40
Tabel 4.2. Hasil Analisis UV-Vis Ekstrak Daun Pare .....	40
Tabel 4.3. Hasil Analisis FTIR Ekstrak Gabungan Daun Pare .....	41
Tabel 4.4. Hasil Analisis FTIR Ekstrak Metanol Daun Pare .....	41
Tabel 4.5. Hasil Analisis FTIR Ekstrak Etil Asetat Daun Pare .....	41
Tabel 4.6. Hasil Analisis FTIR Ekstrak N-Heksan Daun Pare .....	42



## DAFTAR GAMBAR

Gambar 2.1. Spektrum Gelombang Elektromagnetik Secara Keseluruhan .....	8
Gambar 2.2. Struktur Sel Surya .....	11
Gambar 2.3. Skema Kerja Dye Sensitizer Solar Cell (DSSC).....	14
Gambar 2.4. Struktur kristal TiO <sub>2</sub> fase (a) fase anatase dan (b) rutil .....	16
Gambar 2.5. Struktur Antosianin .....	21
Gambar 2.6. Struktur Klorofil.....	22
Gambar 2.7. Struktur β-karoten .....	23
Gambar 2.8. Daun Pare .....	24
Gambar 2.9. Spektrofotometer UV-Vis .....	28
Gambar 2.10. Spektrum Serapan Panjang Gelombang Senyawa Antosianin .....	29
Gambar 2.11. Spektrofotometer FTIR .....	30
Gambar 2.11. Rangkaian alat <i>Scanning Elektron Microscopy (SEM)</i> .....	32
Gambar 2.12. <i>Scanning Electron Microscopy (SEM)</i> pada nanokristal TiO <sub>2</sub> (anatase) dalam DSSC .....	33
Gambar 4.1. Rangkaian Alat DSSC.....	44
Gambar 4.2. Rangkaian Pengukuran Nilai Efisiensi DSSC .....	45
Gambar 4.3. Pengikatan TiO <sub>2</sub> dengan Zat Warna Klorofil.....	40
Gambar 4.4. Hasil SEM Permukaan TiO <sub>2</sub> yang Terikat Zat Warna .....	54

## DAFTAR ISI

<b>SAMPUL</b> .....	<b>i</b>
<b>PERNYATAAN KEASLIAN SKRIPSI</b> .....	<b>ii</b>
<b>PENGESAHAN SKRIPSI</b> .....	<b>iii</b>
<b>KATA PENGANTAR</b> .....	<b>iv-vi</b>
<b>DAFTAR ISI</b> .....	<b>vii-ix</b>
<b>DAFTAR TABEL</b> .....	<b>x</b>
<b>DAFTAR GAMBAR</b> .....	<b>xi</b>
<b>DAFTAR GRAFIK</b> .....	<b>xii</b>
<b>DAFTAR SINGKATAN</b> .....	<b>xiii</b>
<b>ABSTRAK</b> .....	<b>xiv</b>
<b>ABSTRACK</b> .....	<b>xv</b>
<b>BAB I. PENDAHULUAN</b> .....	<b>1-5</b>
A. Latar Belakang .....	1
B. Rumusan Masalah .....	5
C. Tujuan Penelitian .....	5
D. Manfaat Penelitian.....	5
<b>BAB II. TINJAUAN PUSTAKA</b> .....	<b>6-33</b>
A. Energi Matahari .....	6-10
B. Sel Surya .....	11-12
C. Sel Surya Organik .....	12-13
D. Dye Sensitized Solar Cell (DSSC).....	13-19
1. Kaca TCO (Substrat) .....	15
2. TiO <sub>2</sub> (Tittanium Dioksida) Sebagai Semikonduktor.....	15-17
3. Elektrolit .....	17-19
4. Elektroda Pembanding.....	19

5. Zat Warna .....	19-23
a). Antosianin.....	21-22
b). Klorofil .....	22-23
c)Karoten .....	23
F. Daun Pare ( <i>Momordica charantia</i> ) .....	24-25
G. Metode Ekstraksi.....	25-27
1. Maserasi.....	25-26
2. Sokletasi.....	26
3. Perkolasi .....	26-27
4. <i>Ultrasonic-Assisted Solvent Extraction</i> .....	27
H. Identifikasi Senyawa .....	27-31
1. Spektroskopi UV-Vis.....	27-29
2. Spektroskopi FTIR Gas.....	29-30
3. Skrining Fitokimia .....	30-31
I. <i>Scanning Electron Microscopy</i> (SEM) .....	31-33
<b>BAB III. METODE PENELITIAN .....</b>	<b>34-38</b>
A. Waktu dan Tempat Penelitian .....	34
B. Alat dan Bahan.....	34
1. Alat .....	34
2. Bahan .....	34
C. Prosedur Kerja.....	35-38
1. Ekstraksi Serbuk Daun Pare .....	35
2. Preparasi Perangkat DSSC .....	35-36
a). Preparasi TiO <sub>2</sub> .....	35
b). Pembuatan Gel Elektrolit .....	35
c). Pembuatan Elektroda Pembanding.....	36
d). Rangkaian Perangkat DSSC.....	36
3. Karakterisasi Senyawa Daun Pare .....	36
4. Uji Skrining Fitokimia.....	36-37
5. Uji <i>Scanning Electron Microscopy</i> (SEM).....	38
<b>BAB IV. HASIL DAN PEMBAHASAN .....</b>	<b>39-54</b>
A. Hasil Penelitian .....	39-43
1. Ekstraksi.....	39
2. Efisiensi DSSC .....	39

3. Karakterisasi Zat Warna.....	40-43
a). Skrining Fitokimia.....	40
b). Spektrofotometer UV-Vis .....	40
c). Spektrofotometer FTIR .....	41-42
<b>B. Pembahasan .....</b>	<b>42-54</b>
1. Ekstraksi Daun Pare.....	42
2. Rangkaian DSSC .....	42-44
3. Efisiensi DSSC.....	44-47
4. Skrining Fitokimia.....	47-49
5. Spektrofotometer UV-Vis.....	49-51
6. Spektrofotometer FTIR .....	51-53
7. Morfologi TiO <sub>2</sub> .....	54
<b>BAB V. Penutup .....</b>	<b>55</b>
<b>DAFTAR PUSTAKA .....</b>	<b>56-60</b>
<b>LAMPIRAN-LAMPIRAN .....</b>	<b>61-79</b>
<b>RIWAYAT HIDUP .....</b>	<b>80</b>

## DAFTAR SINGKATAN

BBM	: Bahan Bakar Minyak
DSSC	: <i>Dye Sensitized Solar Sel</i>
DC	: <i>Direct Conductivity</i>
FTIR	: <i>Fourier Transform Infrared</i>
HOMO	: <i>Higher Occupied Molecular Orbital</i>
ITO	: <i>Indium Tin Oxid</i>
IR	: <i>Infra red</i>
ITO	: <i>Indium Transparent Oxide)</i>
kHz	: kilo Herzt
LUMO	: <i>Lower UnoccupiedMolecular Orbital</i>
PV	: <i>Photovoltaic</i>
TiO <sub>2</sub>	: Titanium Dioksida
SEM	: <i>Scanning Elektronik Microscopy</i>
TCO	: <i>Transfarant Conductor Oxide</i>
UV-Vis	: <i>Ultraviolet-Visible</i>



## ABSTRAK

Nama : Wahidah Febriya Ramadhani

NIM : 60500113072

Judul Skripsi : Ekstraksi Zat Warna Daun Pare (*Momordica Charantia*) dan Aplikasinya Pada *Dye Sensitized Solar Cell* (DSSC)

---

Ketersediaan sumber energi semakin menipis dengan adanya penggunaan energi yang tidak terbarukan seperti gas alam dan minyak bumi, sehingga dibutuhkan energi terbarukan yang perlu untuk dikembangkan seperti panel surya. Penggunaan panel surya masih tergolong mahal dalam pembuatannya, untuk itu dikembangkan panel surya yang berbahan dasar murah yaitu DSSC (*Dye Sensitized Solar Cell*). Penggunaan DSSC sangat bagus dikembangkan di Indonesia yang terkenal akan kekayaan hayatinya. Penelitian ini digunakan daun pare sebagai *photosensitizer* yang diperoleh dari proses ekstraksi berupa maserasi dengan pelarut bervariasi, yaitu N-heksan, Etil Asetat, dan Metanol. Pengujian DSSC dilakukan pada 4 ekstrak yaitu pada ekstrak N-heksan, Etil Asetat, Metanol, dan Gabungan dari ketiga ekstrak. Nilai efisiensi paling tinggi yang didapatkan dari masing-masing ekstrak berturut-turut yaitu sebesar 0,03%, 0,04%, 0,14% dan 0,30%. Karakterisasi dilakukan pengujian menggunakan Spektrofotometer UV-Vis dan FTIR. Hasil analisis UV-Vis menunjukkan serapan panjang gelombang untuk ekstrak N-heksan, Etil Asetat, Metanol, dan Gabungan berturut-turut yaitu 269,1 nm, 668,0 nm, 663,9 nm, dan 6631 nm. Hasil FTIR menemukan adanya gugus-gugus kromofor dan ausokrom yang teridentifikasi pada keempat ekstrak yang diuji, yaitu adanya gugus C=O, -OH, dan -C-H.

Kata Kunci: DSSC, Efisiensi, Daun Pare (*Momordica Charantia*), gugus kromofor dan gugus Ausokrom.

## ABSTRACT

Name : Wahidah Febriya Ramadhani

NIM : 60500113072

Title : *Leaf Paste Color Dye Extraction (Momordica Charantia) and It's Applications On Dye Sensitized Solar Cell (DSSC)*

---

*The availability of energy sources is dwindling with the use of non-renewable energy such as natural gas and petroleum, so renewable energy is needed which has the potential to be developed such as solar panels. The use of solar panels is still quite expensive in the manufacture, for that developed solar panels are cheap based DSSC (Dye Sensitized Solar Cell) .The use of DSSC is very good developed in Indonesia which is famous for its biological richness. This study used pare leaves as photosensitizer obtained from the extraction process of maceration with varying solvents, namely N-hexane, Ethyl Acetate, and Methanol. The DSSC test was performed on 4 extracts ie on N-hexane extract, Ethyl Acetate, Methanol, and Combined from the three extracts. The highest value of efficiency obtained from each extract respectively that is equal to 0,03%, 0,04%, 0,14% and 0,30%. Characterization done testing using UV-Vis Spectrophotometer and FTIR. The result of UV-Vis analysis shows that wavelength for N-hexane, Ethyl Acetate, Methanol and Combined extracts are 269,1 nm, 668,0 nm, 663,9 nm, and 6631 nm respectively. FTIR results found the presence of chromophore and auxochromic groups identified on all four tested extracts, the presence of C = O, -OH, and -C-H groups.*

*Keywords: DSSC, Efficiency, Leafs Pare (Momordica Charantia), Chromophore, and Auxochrome Groups.*

# BAB I

## PENDAHULUAN

### *A. Latar Belakang*

Energi merupakan kebutuhan dasar manusia yang terus meningkat seiring dengan perkembangan zaman. Salah satu energi dari alam yang sering dimanfaatkan ialah energi fosil. Energi fosil sebagai sumber bahan bakar minyak merupakan salah satu sumber energi bersifat tidak terbarukan. Sumber energi ini banyak digunakan untuk memenuhi kebutuhan energi di dalam kehidupan sehari-hari masyarakat.

Suplai energi nasional diyakini tidak akan cukup untuk memenuhi kebutuhan masyarakat Indonesia yang semakin meningkat. Apalagi jika hanya memanfaatkan sumber daya tidak terbarukan sehingga dibutuhkan sumber energi lain yang sifatnya terbarukan. Energi terbarukan merupakan energi berkelanjutan sehingga penggunaannya diharapkan mampu menggantikan energi tidak terbarukan yang ketersediannya akan habis.

Pemanfaatan sumber energi terbarukan perlu dikembangkan dengan berbagai cara yang dilakukan untuk memetakan potensi sumber daya energi yang dapat dikembangkan di Indonesia. Sumber daya dapat berasal dari sumber daya hayati (flora dan fauna), yang mana di Indonesia kaya akan sumber tersebut. Selain itu, sumber energi yang persediaannya tidak terbatas di alam, seperti angin, air, dan matahari sangat berpotensi untuk dikembangkan

Menurut Kementerian ESDM, komposisi produksi energi nasional saat ini ialah bahan bakar minyak (BBM) sebesar 5003 ribu bpd; gas bumi sebesar 1460 ribu bpd; batu bara 789 ribu bpd dan energi terbarukan yang relatif masih minim (KESDM,



2014: 3). Dengan demikian konsumsi bahan bakar fosil tahun 2014 mencapai 7,25 juta bpd. Pemanfaatan bahan bakar minyak dimanfaatkan untuk menghasilkan energi listrik pada penggunaan di segala sektor. Dengan konsumsi bahan bakar terus menerus dilakukan mengakibatkan cadangan semakin menipis. Hal tersebut memicu pemanfaatan kekayaan sumber daya di Indonesia seperti tenaga air, panas bumi, gas bumi, batu bara, biogas, biomassa, energi laut, dan energi matahari untuk dapat digunakan sebagai energi alternatif. Diharapkan sumber-sumber energi alternatif tersebut menjadi solusi atas masalah ketergantungan terhadap penggunaan bahan bakar minyak. Sebagai negara tropis, Indonesia dianugerahi Sang Pencipta limpahan sinar matahari sepanjang tahun.

Sinar matahari memancarkan cahayanya dalam bentuk radiasi gelombang elektromagnetik. Radiasi matahari yang sampai ke permukaan bumi disebut *insolation (incoming solarradiation)*. Radiasi ini mengalami penyerapan (absorpsi), pemantulan, hamburan, dan pemancaran radiasi dengan kuantitas tertentu sehingga mampu memberikan manfaat yang sangat besar bagi manusia seperti dalam Al-QS. As-Syams (91:1) yang berbunyi:


  
 وَالشَّمْسُ وَضُحَاهَا

Terjemahnya:

“Demi matahari dan sinarnya pada pagi hari” (Kementrian Agama RI, 2011).

Kata “dhuha” dipahami oleh sebagian para ulama sebagai arti dari cahaya matahari (pagi) (Shihab, 2002: 295). Sedangkan kata “wassyyamsi” diartikan sebagai sumpah atau demi. Hal tersebut membuktikan bahwa Allah bersumpah dengan ciptaanNya berupa matahari yang terbit dipagi hari yang mendatangkan manfaat bagi kehidupan di muka bumi. Matahari pagi yang memiliki panjang gelombang rendah

ini menghasilkan energi foton yang tinggi. Energi inilah yang kemudian dapat dikonversi menjadi energi listrik yang disebut dengan sel surya (Puspitosari, Sumarno dan Budi, 2006: 1).

Pada sel surya (divais sel surya) terjadi proses konversi dari sinar matahari menjadi energi listrik yang bersifat energi listrik arus searah (DC) (Musila dan Mbitu, 2012: 996). Sel surya yang telah dipasarkan saat ini umumnya berbahan dasar silikon sehingga relatif masih mahal bagi masyarakat menengah ke bawah. Oleh karena itu, diperlukan adanya material baru yang dapat dimanfaatkan sebagai pengganti silikon sebagai bahan dasar sel surya, seperti zat warna.

Sel surya berbasis zat warna tersebut merupakan jenis sel surya yang diperkenalkan pertama kali oleh Oregan dan Grätzel pada tahun 1991 yang dikenal sebagai DSSC (*Dye-Sensitized Solar Sel*). Sel surya ini merupakan jenis sel surya generasi ke tiga (Jonathan, 2016: 2). DSSC (*Dye-Sensitized Solar Sel*) merupakan sumber energi yang relatif murah dan ramah lingkungan. DSSC menggunakan prinsip sederhana dari kinerja tanaman berfotosintesis, yaitu proses penangkapan energi foton yang selanjutnya dikonversi menjadi energi listrik.

DSSC memiliki bentuk seperti *sandwich*, dimana dua elektroda yaitu elektroda semikonduktor  $\text{TiO}_2$  tersensitasi *dye* dan elektroda pembanding yang terbuat dari kaca ITO dilapisi karbon yang mengapit elektrolit membentuk sistem sel fotoelektrokimia. Elektroda pembanding terbuat dari kaca ITO yang dilapisi dengan karbon karena memiliki konduktivitas yang cukup dan resistansi panas serta aktivitas elektrokatalitik dari reduksi triiodida (Trianiza dan Gatut, 2012: 3).

Pada penelitian sebelumnya oleh Prayogi dan Laeli (2015) bahan semikonduktor  $\text{TiO}_2$  yang berukuran mikro digunakan sebagai fotokatalis dan kulit

rambutan sebagai *dye sensitizer*. Metode pelapisan TiO<sub>2</sub> pada kaca ITO menggunakan metode spin coating ini bertujuan untuk mendesain DSSC yang dapat diaplikasikan pada masyarakat. Beberapa ekstrak tanaman lain pun telah dieksplorasi untuk digunakan sebagai *dye sensitizer*. Pada penelitian sebelumnya Aminuddin dkk (2016), yang menggunakan fraksi metanol:n-heksan zat warna dari daun jati. Nilai efisiensi yang bervariasi dihasilkan sebesar 0,05127%. Herdani dkk pada tahun 2014 menggunakan ekstrak daun *Rheo Discolor* sebagai *dye* dengan nilai efisiensi sebesar 0,024%. Dahlan dan Tjiauw (2016) menggunakan ekstrak daun pandan menghasilkan nilai efisiensi sekitar 0,055%, sedangkan Suprianto (2016) menggunakan ekstrak daun biduri sebagai *dye sensitizer* menghasilkan nilai efisiensi sekitar 0,8596% dengan melakukan variasi konsentrasi dari zat warna yang spesifik digunakannya yaitu klorofil.

Tanaman pare sebagai sumber pangan dan obat-obatan diyakini juga dapat dipakai sebagai *dye sensitizer* mengingat adanya kandungan zat warna dari golongan tanin, polifenol, antosianin dan karotenoid (Mutiara dan Ahmad Wildan 2014: 4-6). Daun pare diekstrak dengan pelarut-pelarut organik dan diaplikasikan sebagai *dye sensitizer*, maka diharapkan senyawa-senyawa yang terkandung didalamnya menghasilkan pada nilai efisiensi sel surya yang optimal.

Berdasarkan uraian diatas maka dilakukanlah penelitian untuk mempelajari hubungan struktur senyawa yang terdapat dalam ekstrak daun pare terhadap nilai efisiensi DSSC (*Dye Sensitizer Solar Cell*).

### **B. Rumusan Masalah**

Rumusan masalah dari penelitian ini, yaitu:

1. Berapa nilai efisiensi yang dihasilkan dari ekstrak daun pare (*Momordica charantia*) dalam aplikasi *Dye Sensitizer Solar Cell* (DSSC)?
2. Bagaimana pengaruh kandungan senyawa ekstrak daun pare (*Momordica charantia*) terhadap nilai efisiensi *Dye Sensitizer Solar Cell* (DSSC)?

### **C. Tujuan penelitian**

Tujuan penelitian ini, yaitu:

1. Menentukan nilai efisiensi yang dihasilkan dari ekstrak daun pare (*Momordica charantia*) dalam aplikasi *Dye Sensitizer Solar Cell* (DSSC).
2. Mengetahui pengaruh kandungan senyawa
3. dalam ekstrak daun pare (*Momordica charantia*) terhadap nilai efisiensi *Dye Sensitizer Solar Cell* (DSSC).

### **D. Manfaat Penelitian**

Manfaat dari penelitian ini, yaitu:


1. Mampu memberikan informasi mengenai hubungan kandungan senyawa yang terdapat pada ekstrak daun pare terhadap nilai efisiensi DSSC dalam mengkonversi energi matahari menjadi energi listrik
2. Memberikan manfaat dengan menyajikan literatur kepada pembaca yang dapat membantu dalam penelitian selanjutnya.
3. Memberikan tambahan ilmu bagi peneliti mengenai pembuatan *Dye Sensitizer Solar Cell* (DSSC) menggunakan ekstrak pare.

## BAB II TINJAUAN PUSTAKA

### **A. Energi Matahari**

Cahaya matahari yang masuk ke bumi dan yang mampu diserap berkisar 1000 energi matahari Watt/m<sup>2</sup>. Energi matahari tidak seluruhnya diserap oleh bumi, sebagian terpantulkan kembali ke angkasa berkisar 30% dan sekitar 70% energi terserap oleh bumi yang dikonversi untuk kebutuhan biologis sekitar 23% dan selebihnya sekitar 47% diubah menjadi panas (Manan, 2012: 32).

Letak geografis Indonesia menghasilkan penyinaran energi matahari yang berlangsung sepanjang tahun dengan intensitas yang relatif kuat. Hal tersebut seperti telah dituliskan dalam al-Qur'an. Sebagaimana firmanNya dalam surah QS. Yasin (36): 38 yang berbunyi:

 وَالشَّمْسُ تَجْرِي لِمُسْتَقَرٍّ لَهَا ۚ ذَلِكَ تَقْدِيرُ الْعَزِيزِ الْعَلِيمِ

Terjemahnya:

“Dan matahari berjalan di tempat peredarannya. Demikianlah ketetapan yang Maha Perkasa lagi Maha Mengetahui.” (Kementrian Agama RI, 2011).

Kata “wassyamsi” yang mengartikan matahari dan “tajrii limustaqarri” yang mengartikan berjalan ditempat peredaran atau ketetapan. Hal tersebut membuktikan bahwa cahaya matahari yang masuk ke bumi, khususnya Indonesia memiliki waktu penyinaran yang lebih banyak karena letak geografis Indonesia di muka bumi yang menyebabkan cahaya matahari tanpa mengubah tempat peredarannya mampu memberikan intensitas pencahayaan yang lebih banyak (Hamka, 1987: 5911). Peredaran matahari yang telah ditentukan olehNya membuat intensitas pencahayaan

matahari yang masuk ke bumi berbeda-beda tiap negara dan merupakan ketentuan oleh-Nya.

Intensitas cahaya matahari yang masuk ke bumi, selain dimanfaatkan sebagai salah satu energi penunjang aktivitas biologis di bumi juga dapat dijadikan sebagai acuan dalam pergantian waktu. Sebagaimana firmanNya dalam surah QS. Yunus (10): 5 yang berbunyi:

هُوَ الَّذِي جَعَلَ الشَّمْسَ ضِيَاءً وَالْقَمَرَ نُورًا وَقَدَرَهُ مَنَازِلَ لِتَعْلَمُوا عَدَدَ السِّنِينَ وَالْحِسَابَ ۗ مَا خَلَقَ اللَّهُ ذَلِكَ إِلَّا بِالْحَقِّ يُفَصِّلُ الْآيَاتِ لِقَوْمٍ يَعْلَمُونَ ﴿٥﴾

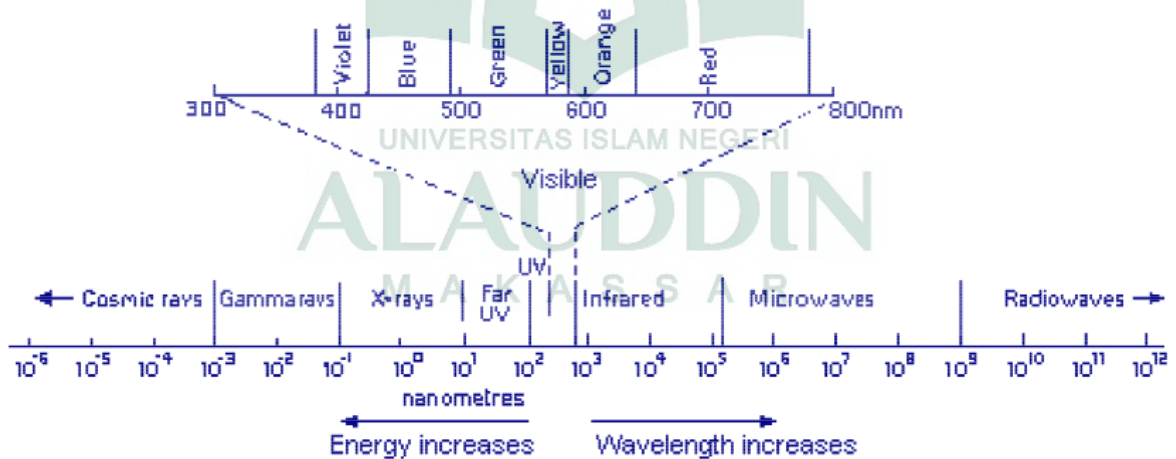
Terjemahannya:

“Dialah yang menjadikan matahari bersinar dan bulan bercahaya dan Dialah yang menetapkan tempat-tempat orbitnya, agar kamu mengetahui bilangan tahun dan perhitungan waktu. Allah tidak menciptakan yang demikian itu melainkan dengan benar. Dia menjelaskan tanda-tanda kebesaranNya kepada orang-orang yang mengetahui.” (Kementrian Agama RI, 2011).

Segala ciptaan Allah SWT merupakan tanda-tanda dari kekuasaan-Nya salah satunya matahari yang menjadikan sinarnya sebagai penerangan di waktu siang dan Dia menetapkan “manzilah-manzilah” sebagai perhitungan waktu. Kata “manzilah” menjelaskan tempat beredar yang dijadikan sebagai acuan dalam perhitungan waktu. Karena dengan adanya matahari dapat dihitung hari-hari (Bahreisy dan Said, 1988: 180). Selain itu, cahaya matahari yang berasal dari kata “Dhiya” dimaksudkan merupakan cahaya yang tampak yang dapat ditangkap oleh mata kepala tetapi semua cahaya bersumber dari Allah (Shihab, 2002: 552), sehingga matahari memiliki manfaat yang lain terkhususnya yang berkaitan dengan cahayanya (spektrum) yang terdiri dari sinar tampak maupun tidak tampak. Dengan adanya pergantian siang dan

malam, yang mana cahaya matahari di siang hari mampu dimanfaatkan energinya berupa energi radiasi elektromagnetik.

Energi cahaya merupakan bagian dari radiasi elektromagnetik yang dapat diserap oleh indra optik manusia. Radiasi elektromagnetik dalam rentang *visible* disebut cahaya. Cahaya memiliki energi elektromagnetik yang disebut dengan radiasi. Spektrum elektromagnetik yang dipancarkan oleh matahari, keseluruhannya diserap oleh bumi. Cahaya yang merupakan gelombang elektromagnetik memiliki panjang gelombang berkisar  $\pm 1$  nanometer sampai 100 kilometer. Cahaya ultraviolet memiliki rentang panjang gelombang berkisar 100-380 nm (Handoko dan Yunie, 2012: 2). Kisaran nilai panjang gelombang dapat dikatakan spektrum elektromagnetik (Arkundato, 2010: 9). Spektrum elektromagnetik dapat dilihat secara keseluruhan pada Gambar 2.1.



**Gambar 2.1. Spektrum Gelombang Elektromagnetik Secara Keseluruhan  
(ThermoSpectronic)**

Gelombang elektromagnetik memiliki spektrum yang khas dan panjang yang menandakan elektromagnetik tersusun atas *range* panjang gelombang. Pada batas sinar X dengan panjang gelombang yang pendek menunjukkan radiasi elektromagnetik berdasarkan sifat partikelnya sedangkan untuk panjang gelombang yang tinggi, menunjukkan sifat pada panjang gelombangnya. Cahaya *ultraviolet* dengan panjang gelombang yang rendah menunjukkan sifat kuantumnya yang kuat dibandingkan dengan cahaya IR atau *Visible*. Cahaya UV dengan panjang gelombang 315-400 nm yang hampir secara sempurna terserap di udara (Akundato, 2010: 10). Cahaya tampak atau *Visible* mudah teramati oleh indra penglihatan. Seperti pada Tabel 2.1 yang mana cahaya tampak (*visible*) terbagi dalam beberapa warna yang memiliki nilai spektrum yang berbeda-beda.

**Tabel 2.1. Aproximasi Jangkauan Panjang Gelombang Berbagai Warna dalam Spektrum Sinar Tampak**

Warna	Aproximasi Jangkauan Panjang Gelombang	
	Nm	Å
Ungu	380-450	3800-4500
Biru	450-490	4500-4900
Hijau	490-560	4900-5600
Kuning	560-590	5600-5900
Jingga	590-630	5900-6300
Merah	630-670	6300-6700

(Sumber: Giancoli, 2001).



Dengan adanya kandungan energi yang terkandung didalam sinar matahari, maka sinar matahari dapat dijadikan sebagai sumber energi alternatif.

Secara umum harga bahan bakar fosil khususnya minyak dan gas alam mengalami kenaikan setiap tahunnya, sehingga dapat diprediksi bahwa BBM suatu saat dapat menjadi kendala dalam percepatan pembangunan nasional. Untuk itu dibutuhkan energi alternatif yang diharapkan mampu memenuhi kebutuhan energi secara berkelanjutan di masa depan.

Saat ini, ada beberapa energi alternatif yang sedang dikembangkan dalam beberapa bidang kajian yang diharapkan dapat menghindarkan dari efek pencemaran lingkungan seperti yang diakibatkan oleh energi yang berasal dari bahan bakar fosil. Energi alternatif sering dikatakan sebagai energi yang baru dikembangkan. Cakupan untuk energi alternatif dalam skala industri mencakup aspek sumber dan teknologi yang diharapkan memiliki cukup potensi seperti energi nuklir, energi angin, pembangkit listrik tenaga air, *bio fuel*, dan energi surya.

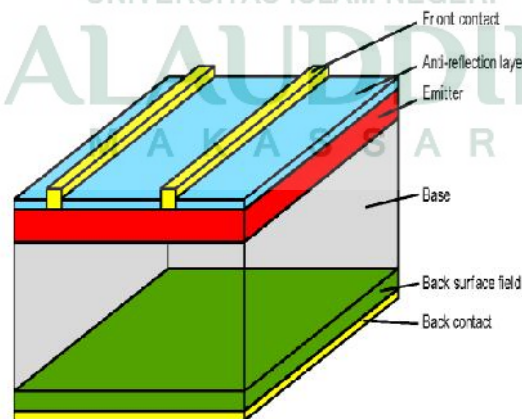
Menurut Liun (2011: 313), konversi energi surya menjadikan energi listrik dapat dilakukan melalui dua teknologi yang lazim, yaitu:

1. *Solar Thermal*. Terdapat lima komponen yang terdapat dalam *solar thermal*, yaitu konsentrator, penerima, sistem transport energi, sistem konversi energi panas, dan sistem pengatur. Adapun lima sistem yang digunakan yaitu cekung parabolic, piringan, penerima terpusat, mangkok hemisfrik dan kolam matahari.
2. *Photovoltaic (PV)*. Teknologi PV sering dikatakan solar sel yang meliputi bahan-bahan semikonduktor yang berperan dalam membawa muatan positif maupun negatif.

## B. Sel Surya

Konversi sel surya (*solar cell*) yang disebut juga divaisfotofaltaik menyerap energi matahari baik sinar tampak maupun ultraviolet yang kemudian dikonversi menjadi energi listrik dengan arus searah (DC) (Musila dan Mbitu, 2012: 996). Sel surya secara umum diproduksi dari bahan semikonduktor yaitu silikon yang dapat berperan sebagai insulator pada temperatur rendah dan berperan sebagai konduktor pada temperatur tinggi (Mintorogo, 200: 136).

Terdapat dua jenis modul utama dalam teknologi solar sel yaitu *flat plane module* dimana seluruh bidang yang disinari dipenuhi dengan sel surya (*solar cell*), dan dengan elemen optik (cermin, lensa) yang mengkonsentrasikan sinar datang ke bidang kecil sel surya, sehingga lebih menghemat penggunaan bahan semikonduktor yang harganya mahal. Efisiensi dari panel surya hanya sekitar 20% dari tangkapan energi sinar surya menjadi listrik (Liun, 2011: 313). Penggunaan panel sel surya umumnya bahan dasar berupa silikon.



Gambar 2.2. Struktur Sel Surya (Musila dan Elisabeth, 2012: 996).

Sebuah Silikon Sel Surya adalah sebuah diode yang terbentuk dari lapisan atas silikon tipe n (*silicon doping* “*phosphorous*”), dan lapisan bawah silikon tipe p (*silicon doping of* “*boron*”). Secara umum struktur sebuah sel surya terdiri atas persambungan metal atas (kutub positif), lapisan anti refleksi, lapisan semikonduktor tipe p, sambungan p-n (*p-n junction*), lapisan semikonduktor tipe p, dan kontak metal bawah (kutub positif) (Musila dan Elisabeth, 2012: 995) seperti pada Gambar 2.2.

Menurut Green (2003) dalam Sutrisno (2010: 116), terdapat tiga jenis sel fotovoltaik, yaitu

1. Sel fotovoltaik generasi ke-I, yaitu terdiri dari semikonduktor monogap yang terbuat dari kristal silikon (Si) atau *poly-grain* Si.
2. Sel fotovoltaik generasi ke-II, yaitu sel fotovoltaik yang menggunakan lapisan tipis terdiri dari lapisan film tipis, silisium amorf, polikristalin silisium, CuInSe, CuInGaS, CdTe, sel fotovoltaik berbasis pewarna (Dye Sensitized Solar Cells/DSSC) dan sel fotovoltaik organik.
3. Sel fotovoltaik generasi ke-III, yaitu jenis sel fotovoltaik lapisan tipis yang paling bagus. Terdiri dari: sel tandem multi celah (*multi-gap tandem cells*), sel surya pembawa elektron panas (*hot electron converters* atau *hot carrier converter cells*), sel surya pembentukan multi eksitasi (*multiple exciton generation solar cells*), sel fotovoltaik pita intermediate (*Intermediate band photovoltaics*), sel surya quantum dot (*quatum-dot solar cells*) dan sel termofotovoltaik (*thermophotovoltaic cells*).

### **C. Sel Surya Organik**

Sel surya organik memiliki bahan dasar yang berasal dari bahan organik atau polimer. Modul sel surya organik konvensional memiliki nilai efisiensi sekitar 4 –5%

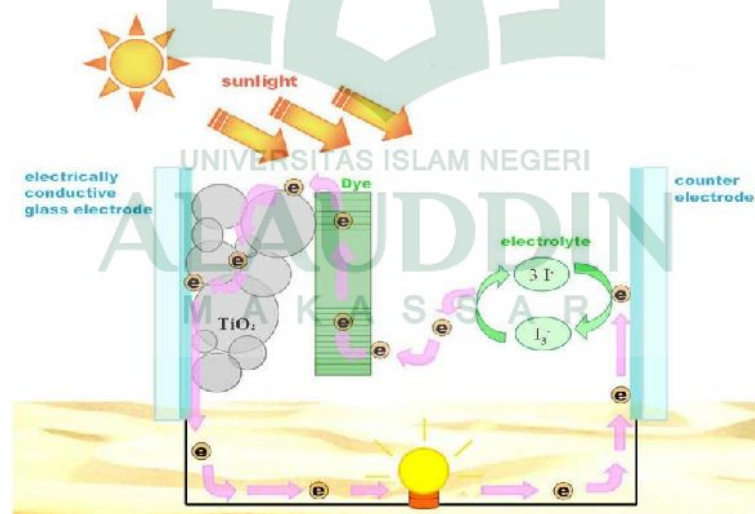
sedangkan hasil preparasi di laboratorium sebesar 6 – 8%. Nilai efisiensi yang rendah menjadikan sel surya organik sebagai tantangan dalam pengembangannya. Selain nilai efisiensi yang rendah, kekurangan yang lain ialah ketidakstabilan dari komponen-komponenya selnya (Radwan, 2015: 7).

Penggunaan sel surya organik telah dikembangkan oleh sektor industri menjadi lebih sederhana membentuk lembaran plastik sehingga lebih mudah dalam penggunaannya dan aplikasinya pada portabel. Keuntungan penggunaan sel surya ini karena bahan yang digunakan tidak berbahaya, penggunaan bahan dasar yang melimpah dan proses produksi yang terukur sehingga menghasilkan data produktivitas yang baik dan tinggi (Radwan, 2015: 7). Adanya sel surya organik ini menjadikannya lebih dikembangkan menjadi salah satu teknologi yaitu *dye sensitized solar cell* (DSSC).

#### **D. Dye Sensitized Solar Cell (DSSC)**

DSSC adalah sel surya yang diciptakan oleh Gratzel M pada tahun 1991 yang menjadikan zat warna sebagai zat yang peka (*sensitizer*) terhadap cahaya dan semikonduktor sebagai pembawa muatan elektron (Gratzel, 2003). Penggunaan *dye* atau zat warna pada bahan bersifat semikonduktor berfungsi untuk mengabsorpsi zat warna pada rangkaian *sandwich* DSSC. Semikonduktor yang umum digunakan ialah titanium dioksida dalam struktur nanokristal. Material semikonduktor ditempatkan pada plat transparan yang memiliki efek konduktivitas, yang disebut dengan kaca TCO (Kim, dkk., 2001: 1). Prinsip dasar dari DSSC adalah terjadinya eksitasi elektron dari pita valensi *dye* ke pita konduksi dari semikonduktor. Eksitasi elektron ini terjadi akibat interaksi HOMO atau LUMO antara titanium oksida dengan gugus karboksil pada zat warna (Trianiza dan Yudhoyono, 2012: 1).

Eksitasi elektron pada dari senyawa organik berupa zat warna (*dye*) diinjeksi elektron ke pita konduksi oksida (Gratzel dan O'Regan, 1991: 738) yang mana *dye* akan bermuatan positif sedangkan semikonduktor berupa  $\text{TiO}_2$  bermuatan negatif akibat dari proses tersebut (Trianiza dan gatut, 2012: 1). Adanya bantuan dari larutan elektrolit, sehingga *dye* yang bermuatan positif akan mengalami proses akseptor elektron dari elektrolit jenis pelarut organik. Elektrolit tersebut akan mengalami proses reaksi oksidasi-reduksi (Gratzel, 2003: 147). Jenis elektrolit yang umum digunakan ialah pasangan iodida-triiodida. Pendonoran elektron yang dilakukan oleh iodida akan dioksidasi kembali triiodida yang terdapat pada *counter* elektroda, sehingga proses tersebut berlangsung *cycle* yang akan menghasilkan energi listrik (Trianiza dan gatut, 2012: 1).



Gambar 2.3. Skema Kerja Dye Sensitizer Solar Cell (DSSC) (Radwan, 2015: 22).

Adapun komponen-komponen dari DSSC, yaitu terdiri dari;

### **1. Kaca ITO (substrak)**

Struktur dari DSSC seperti *sandwich* dengan mencakup dua kaca transparan yang bertindak sebagai substrak serta sebagai jendela atau celah untuk cahaya matahari dengan intensitas cahaya tampak dapat masuk. Substrak elektroda harus memiliki sifat konduktor yang baik serta transparan. Syarat sebagai substrak yaitu dapat meningkatkan penyerapan cahaya yang akan memantulkan kembali cahaya yang ditransmisikan ke dalam zat warna (*dye*) (Radwan, 2015: 16).

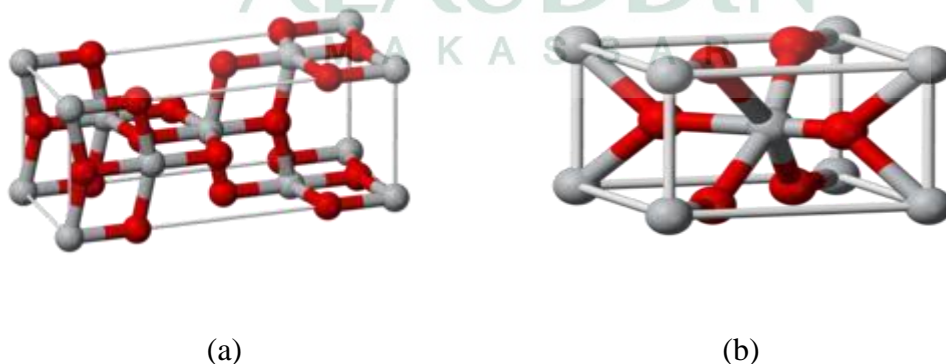
Kaca ITO (*Indium Tin Oxida*) merupakan film tipis yang transparan yang mana yang dibuat dari atau ditumbuhkan dari *Pulsed Laser Deposition* (PLD) yaitu laser pulsa deposisi dengan penambahan substrat fleksibel berupa polyethylene terephthalate (PET). Pengaruh temperatur deposisi substrat dan tekanan gas akan mempengaruhi sifat kaca dari segi strukturalnya, sifat optik dan listrik (Kim, dkk., 2001: 1). Menurut peneliti Liu Min, dkk (2016: 631), yang mengkaji efek radiasi dan mekanisme kerusakan DSSC. Parameter DSSC seperti kerapatan arus hubung singkat ( $J_{SC}$ ) dan intensitas daya maksimum ( $P_{max}$ ) menurun secara signifikan setelah penyinaran. Spektrum UV-Vis pada FTO menunjukkan bahwa transmitansi FTO menurun yang menghasilkan puncak penyerapan pewarna mengalami pergeseran biru. Dengan hasil menunjukkan bahwa ukuran partikel  $TiO_2$  nano-kristal mengalami perubahan setelah  $\gamma$  iradiasi.

### **2. $TiO_2$ (Titanium Dioksida) Sebagai Semikonduktor**

Semikonduktor merupakan bahan yang memiliki konsentrasi rendah dengan biaya produksi yang efisien dapat dijadikan sebagai fotoeksitasi. Perkembangan DSSC menggunakan skala nanopartikel dengan beberapa oksida seperti  $ZnO$ ,  $SnO_2$ ,

atau  $\text{TiO}_2$  dengan celah pita energi yang lebih besar dari 3 eV yang disebut semikonduktor celah pita lebar karena tidak menyerap cahaya tampak sehingga dapat digunakan sebagai calon akseptor elektron untuk DSSC. Keuntungan dari penggunaan  $\text{TiO}_2$  ialah memiliki photosensitivity tinggi, stabilitas struktur yang tinggi di bawah sinar radiasi matahari, tidak beracun, dan biaya rendah (Radwan, 2015: 15). Pada awal perkembangannya, bahan semikonduktor yang digunakan di awal perkembangan DSSC ialah menggunakan  $\text{TiO}_2$  (Grätzel dan O'Regan, 1991:737).

Penggunaan elektroda  $\text{TiO}_2$  yang berpori dapat meningkatkan penyerapan zat warna pada permukaannya (Ren, dkk., 2000: 1). Perbedaan tingkat energi yang dimiliki oleh semikonduktor  $\text{TiO}_2$  pada pita energi konduksinya lebih rendah dibandingkan dengan pita LUMO pada *dye*, sehingga akan terjadinya perpindahan elektron dari pita LUMO pada *dye* ke pita konduksi dan selanjutnya akan diteruskan menuju kaca TCO (Nuryadi, 2011: 1). Macam-macam bentuk kristal dari  $\text{TiO}_2$  ialah rutile, anatase dan brookite (Timuda, 2009: 18).  $\text{TiO}_2$  yang tersebar dipasaran biasanya dalam bentuk Degusa P25 yaitu terdiri dari campuran bentuk kristal anatase dan rutile (Jiputti, 2008: 1).



**Gambar 2.4. Struktur kristal  $\text{TiO}_2$  fase (a) fase anatase dan (b) rutile (Sumber: Wikipedia)**

Dalam penelitian Li dkk (2015: 1501), yang menggunakan  $\text{TiO}_2$  nanowire (NW) mendapatkan nilai efisiensi konversi 5,73% yang mana  $\text{TiO}_2$  WN adalah salah satu bahan lapisan hamburan yang berpotensi pada DSSC dikarenakan konduktivitas elektron yang cepat dan sifat hamburan cahaya yang baik. Peneliti Ardianto, dkk., (2015) menggunakan ketebalan  $\text{TiO}_2$  pada kaca TCO. Variasi ketebalan yaitu 0,36 mm; 0,45 mm dan 0,54 mm yang mana diperoleh data nilai efisiensi lebih besar pada ketebalan 0,36 mm yaitu sebesar 0,8596%. Hal tersebut dikarenakan semakin tebal lapisan  $\text{TiO}_2$  maka semakin besar hambatan yang dimiliki pada rangkaian DSSC sehingga akan dihasilkan nilai efisiensi yang rendah. Penggunaan  $\text{TiO}_2$  dari segi bangun strukturnya (fasa) dapat mempengaruhi nilai efisiensi yang mana penggunaan  $\text{TiO}_2$  terbagi atas anatase dan rutil.

Pada peneliti Agustina, Risanti dan Dyah (2013) dengan menggunakan ekstrak kulit manggis sebagai *dye sensitizer*, didapatkan nilai efisiensi untuk fase 100% rutil ialah 0,011, untuk fase anatase 100% ialah 0,012 dan untuk campuran anatase-rutil (50%:50%) sebesar 0,010%. Hal tersebut membuktikan bahwa fase  $\text{TiO}_2$  anatase mampu memberikan nilai efisiensi yang baik.

### 3. Elektrolit

Elektrolit memiliki peranan penting dalam rangkaian DSSC. Elektrolit mentransfer muatan positif menuju elektroda pembanding di mana pasangan redoks tersebut mengalami proses siklus atau pengulangan oleh elektron yang mengalir kembali melalui sirkuit eksternal. Elektrolit dapat berupa larutan dan bersifat tidak mudah bereaksi dengan semikonduktor  $\text{TiO}_2$  serta elektrolit tidak dapat menyerap spektrum cahaya tampak (Radwan, 2015: 16)



Penggunaan triiodid pada larutan elektrolit akan menyumbangkan elektron dengan proses perpindahan dari elektroda pembanding. Elektron yang berpindah dari elektroda pembanding kembali bergabung ke dalam larutan elektrolit triiodid. Triiodid tersebut berbentuk cair dan bertindak sebagai katalis serta akan menyumbangkan elektron pada molekul *dye* yang teroksidasi (kekurangan elektron) (Zahrok dan Gotjang, 2015: 27).

Penggunaan larutan elektrolit berupa cairan dapat mempengaruhi kinerja dari DSSC dalam menghasilkan nilai efisiensinya. Menurut Zahrok dan Gotjang (2015: 31) dalam penelitiannya mengatakan bahwa penggunaan elektrolit cairan hanya mampu bertahan selama 10 menit menghasilkan nilai efisiensi. Selebihnya akan mempengaruhi kestabilan dari DSSC. Hal tersebut terjadi karena adanya kebocoran dan penguapan pada larutan elektrolit akibat dari suhu yang meningkat pada rangkaian DSSC. Penelitian Subramania A, dkk (2013: 1649) dengan menggunakan etilena karbonat (EC) dan propilena karbonat (PC) yang mengandung elektrolit redoks seperti iodida/triiodida. Komposisi 1:1% berat EC dan PC yang mengandung elektrolit redoks merupakan sistem elektrolit yang efektif untuk pembuatan DSSC stabil dalam jangka panjang.

Peneliti Rofi'ah dan Prajitno (2013) menggunakan larutan elektrolit berbentuk gel. Gel elektrolit didapatkan dari penampahan PEG (Polyethylene Glycol) 1000 dan kloroform. PEG (Polyethylene Glycol) 1000 digunakan sebagai pembuat gel di mana PEG tersebut sebagai penjerap agar elektrolit tidak cepat menguap sehingga arus tegangannya dapat stabil. Penggunaan elektrolit gel tersebut dapat bertahan dalam jangka waktu beberapa lama dan didapatkan nilai arus yang cukup besar pada rangkaian DSSC yaitu sekitar 21,4  $\mu\text{A}$ . Terdapat juga penelitian yang menggunakan

kristal cair ionik 1-dedocyl-3-ethylimidazolium iodide ( $C_{12}Elml$ ) dan cairan ionik 1-decyl-3-ethylimidazolium iodide ( $C_{10}Elml$ ) yang telah disintesis, dicirikan dan digunakan sebagai elektrolit untuk DSSC. Baik  $C_{12}Elml$  maupun  $C_{10}Elml$  memiliki kestabilan elektrokimia dan termal yang baik sehingga mampu menghasilkan nilai efisiensi konversi yang lebih tinggi (Pan Xu, dkk., 2013:1463).

#### 4. Elektroda Pembanding

Fungsi dari elektroda pembanding adalah untuk mentransfer elektron yang datang dari sirkuit eksternal dan kembali ke elektrolit redoks. Hal yang perlu diperhatikan dalam penggunaan elektroda pembanding ialah adanya pengaruh tegangan lebih rendah akan menyebabkan pengurangan pasangan redoks. Selain itu, elektroda pembanding dapat berfungsi sebagai cermin yang ditransmisikan oleh photoelektroda untuk bersiklus secara reversible, sehingga mampu meningkatkan penyerapan cahaya dengan jumlah pemberian pewarna (Radwan, 2015: 20).

#### 5. Zat Warna (*Dye*)

Celah pita dari semikonduktor  $TiO_2$  mampu menyerap foton sampai 390 nm. Molekul dye yang secara strukturnya mampu berikatan dengan  $TiO_2$  berfungsi sebagai “antena” penyerap cahaya matahari sehingga diharapkan mampu menghasilkan nilai lebih besar dalam mengkonversi cahaya matahari menjadi energi listrik. Pemilihan zat warna dapat dilihat dari nilai spektrum penyerapannya yang luas (Radwan, 2015: 16). Pada penelitian Reza, Mahboheh dan Reihaneh (2016: 1267), dengan menggunakan benzen dan borazin yang telah disintesis dan mengandung kromofor. Pewarna yang digunakan terdiri dari pendonor elektron seperti borazin dan benzena serta penerima elektron dihubungkan oleh penghubung  $\pi$ -terkonjugasi

seperti trisianofenil. Sehingga terjadinya penyerapan panjang gelombang maksimum yang diberikan dari HOMO ke transisi LUMO.

Pada zat warna terdapat gugus kromofor yang terdiri dari gugus kovalen jenuh yang berguna untuk menyerap radiasi pada daerah ultraviolet. Struktur dari kromofor memiliki ikatan rangkap yang terkonyugasi yaitu transisi  $n \rightarrow \pi^*$  dan  $\pi \rightarrow \pi^*$ . Selain kromofor, terdapat juga ausokrom yang tersusun dari gugus jenuh dengan elektron sunyi yang tidak menyerap sinar UV-Vis tetapi jika terikat pada gugus kromofor akan mempengaruhi gugus kromofor dalam penyerapan sinar dan panjang gelombangnya (Unang, 2010: 19). Zat warna pada DSSC memiliki fungsi untuk meningkatkan penyerapan spektrum sinar tampak pada  $\text{TiO}_2$ . Ekstrak zat warna yang digunakan sebagai *photosensitier* ialah antosianin, klorofil dan karoten (Trianiza dan Gatut, 2010: 2).

Zat warna merupakan salah satu komponen dalam jaringan tumbuhan yang tersusun atas unsur-unsur kimia, seperti dalam surah QS. Yasin (36): 80 yang berbunyi:



Terjemahnya:

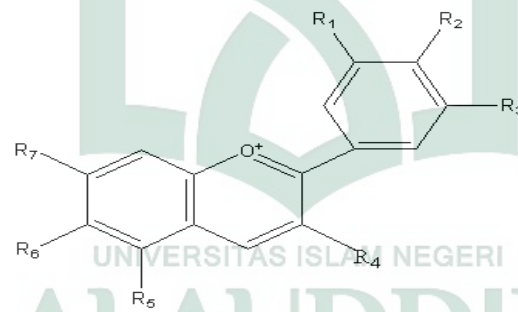
“Yaitu Tuhan yang menjadikan untukmu kayu api dari kayu yang hijau. Maka tiba-tiba kamu nyalakan (api) dari kayu itu.” (Kementrian Agama RI, 2011).

Beberapa ilmuwan menjelaskan maksud ayat tersebut bahwa kekuatan surya yang mampu berpindah dalam tumbuhan dengan proses asimilasi sinar. Sel tumbuh-tumbuhan yang mengandung zat warna menangkap karbondioksida dari udara. Sebagai akibat dari interaksi antara karbondioksida yang diserap dari tumbuh-tumbuhan yang dari dalam tanah akan dihasilkan karbohidrat berkat bantuan sinar

matahari. Dari sana kemudian terbentuk kayu yang terdiri dari komponen kimiawi yaitu karbon, hidrogen dan oksigen yang dari kayu tersebut mampu membuat arang sebagai bahan bakar (Shihab, 2002: 199).

**a). Antosianin**

Senyawa flavonoid yang paling banyak terdapat di dalam tanaman ialah antosianin. Senyawa tersebut berfungsi sebagai pembentuk pigmen warna merah, ungu dan biru pada tanaman. Struktur dari antosian terdiri dari glikosida antosianidin yang merupakan garam pirohidroksiflavilium. Antosianin sebagian besar berupa glikosida dari sejumlah turunan antosianidin, seperti pada Gambar 2.5 (Sastrohamidjojo, 1996: 163).



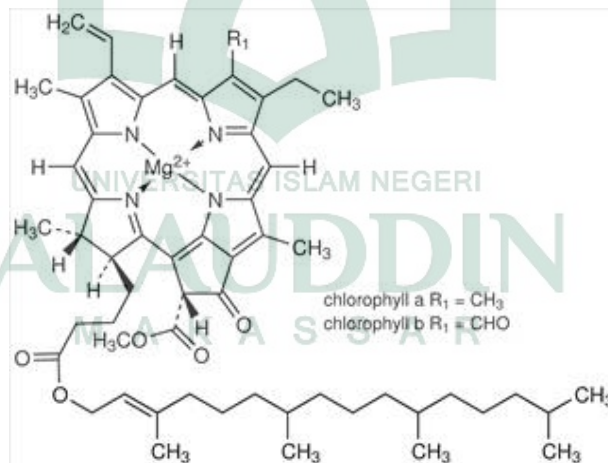
**Gambar 2.5. Struktur Antosianin**

Senyawa antosianin yang merupakan golongan flavonoid termasuk senyawa yang bersifat polar sehingga dapat diekstraksi menggunakan pelarut polar seperti etanol, air dan etil asetat. Pada kondisi asam, akan mempengaruhi hasil ekstraksi di mana semakin asam (mendekati pH 1) maka akan menghasilkan semakin banyak pigmen antosianin dalam berbagai bentuk yaitu kation flavilium (antosianidin) atau oksinium (Moulana R, dkk., 2012: 23). Spektrum serapan ekstrak antosianin dengan

warna pita serapan biru sampai kuning bernilai 450-470 nm dan untuk spektrum serapan pita hijau hingga merah bernilai 500-560 nm dan pada daerah spektrum ungu memiliki nilai serapan 400-430 nm (Maddu, dkk., 2007: 27).

### b). Klorofil

Salah satu pembentuk pigmen hijau pada tanaman ialah karena adanya kandungan klorofil. Hampir setiap tanaman tinggi memiliki kandungan klorofil yang memiliki fungsi sebagai penarik elektron dari cahaya matahari sehingga berlangsungnya fotosintensis. Pada pigmen klorofil menyerap cahaya *visible* dengan panjang gelombang 400-450 nm untuk serapan biru, 650-700 nm untuk serapan merah dan 500-600 nm untuk warna hijau dan panjang gelombang tersebut hanya sedikit sepktum cahaya yang diserapnya (Arrohmah, 2007: 9).



Gambar 2.6. Struktur Klorofil

Warna merah dan biru terserap oleh klorofil sedangkan warna hijau dipantulkan oleh klorofil sehingga warna klorofil ialah warna hijau. Senyawa klorofil bersifat reaktif terhadap cahaya, suhu dan oksigen sehingga akan terdegradasi

menjadi senyawa turunan-turunannya seperti *chlorophyllides*. Molekul klorofil membantu tanaman untuk mendapatkan energi dari cahaya matahari (Arrohmah, 2007: 9).

### c). Karotenoid

Karotenoid merupakan salah satu turunan dari terpenoid yang memiliki sifat khusus serta bertindak sebagai pigmen pada tumbuhan. Sifat khasnya berupa hidrofobik yang hanya larut pada lemak. Karotenoid dapat juga didapatkan dari ganggang, jamur, ragi dan bakteri (Ilyas, 2013: 40). Peran utama dari senyawa ini ialah untuk melindungi jaringan fotosintesis dari fotooksidasi. Salah satu turunan dari karotenoid yaitu  $\beta$ -karoten, yang mana memiliki nilai spektrum panjang gelombang berkisar 500-550 nm (Samson, dkk., 2013: 19).



Gambar 2.7. Struktur  $\beta$ -karoten

Dalam mengisolasi karotenoid pada tanaman tinggi, didapatkan paling banyak turunan karotenoid ialah  $\beta$ -karoten karena senyawa tersebut yang paling umum. Pembentukan karotenoid dalam tumbuhan diperkirakan sekitar 108 ton setiap tahunnya. Senyawa tersebut mudah teroksidasi bila terkena dengan udara sehingga harus disimpan ditempat gelap dan suhu rendah (Harborne, 1987: 159-161).

### ***E. Daun Pare (Momordica charantia)***

Tanaman pare merupakan tanaman semak, tumbuhan yang menjalar atau memanjat serta berbau tidak enak. Daun pare berbentuk membulat dengan pangkal berbentuk jantung, garis tengah 407 cm, memiliki sulur daun, tunggal berbintik-bintik dan taju bergigi kasar hingga berlekuk meyirip. Penyebaran tanaman pare hampir seluruh wilayah di Indonesia dengan istilah penyebutan nama yang berbeda-beda tiap daerahnya dan merupakan tumbuhan liar (Ermawaty, 2010: 25).

Menurut Rahmawati (2010: 3), klasifikasi daun pare ialah sebagai berikut:

Kingdom	: Plantae
Divisi	: Spermatophyta
Subdivisi	: Angiospermae
Kelas	: Dicotyledonae
Ordo	: Cucurbitales
Familia	: Cucurbitaceae
Genus	: <i>Momordica</i>
Species	: <i>Momordica charantia</i>



**Gambar 2.8. Daun Pare (Evitasari, 2011: 8)**

Menurut Rachmawati dkk (2001: 726) mengatakan bahwa kandungan yang terdapat dalam daun pare untuk ekstrak n-heksan didapatkan senyawa terpen, ekstrak Kloroform didapatkan senyawa alkaloid, dan untuk ekstrak metanol didapatkan senyawa alkaloid, tanin, saponin dan gula. Sedangkan menurut Mutiara dan Ahmad Wildan (2014: 3-6), kandungan senyawa yang terdapat dalam daun pare adalah vitamin A, vitamin B, vitamin C, gula, saponin, flavonoid, tanin, fenol, polifenol alkaloid, dan glikosida 3-flavanol. Daun pare dapat digunakan sebagai *dye* pada DSSC karena memiliki beberapa kandungan senyawa. Kandungan senyawa yang terdapat dalam daun pare dapat diambil menggunakan proses ekstraksi.

#### **F. Metode Ekstraksi**

Ekstraksi merupakan salah satu metode pemisahan yang berprinsip pada perpindahan suatu komponen bahan alam yang terdapat pada sampel ke dalam pelarut yang digunakan. Prinsip dari ekstraksi ialah pendistribusian zat terlarut ke dalam zat pelarutnya dan akan menghasilkan ekstrak sebagai hasil dari proses ekstraksi (Ilyas, 2013:2). Pelarut yang digunakan diharapkan mampu mengambil komponen yang diinginkan tanpa merusaknya. Menurut Mukhriani (2014: 362), mengatakan bahwa hal yang harus diperhatikan dari proses ekstraksi khususnya untuk sampel tumbuhan, yaitu pengelompokkan bagian tertentu dari tumbuhan, pengeringan dan penggilingan pada tumbuhan serta pemilihan pelarut yang sesuai dengan sifat kepolaran dari senyawa yang akan diambil.

Proses ekstraksi terbagi atas dua yaitu ekstraksi panas yang terdiri dari refluks dan penyulingan uap air dan ekstraksi dingin yang terdiri maserasi, sokletasi dan perkolasi (Ilyas, 2013: 2). Adapun macam-macam ekstraksi, yaitu:



### **1. Maserasi**

Maserasi merupakan proses perendaman suatu sampel dengan penambahan pelarut yang dilakukan pada temperatur kamar (Ilyas, 2013:2). Proses maserasi ini juga merupakan prosedur yang paling sederhana untuk mendapatkan ekstrak. Proses yang paling sederhana ialah hanya menuangkan pelarut pada sampel (simplisia) dengan pengaturan waktu tertentu. Setelah mengatur waktu yang sesuai untuk tiap bahan-bahan alam, ekstrak kemudian dikeluarkan dan ampas atau residu hasil ekstrak, dicuci atau ditambahkan kembali dengan pelarut yang segar. Hal ini disebut maserasi statis dan dinamis (Agoes, 2007: 38). Kekurangan dari proses maserasi ini adalah penggunaan waktu yang relatif lebih lama (Ilyas, 2013: 2).

### **2. Sokletasi**

Sokletasi merupakan proses ekstraksi panas dengan menggunakan pelarut yang selalu baru. Adanya proses kontinyu menyebabkan pelarutnya selalu baru. Sampel yang digunakan dalam proses ini biasanya dalam bentuk padatan dan bersifat mudah menguap atau volatil (Istiqamah, 2013: 12). Sedangkan menurut (Ilyas, 2013: 3), sokletasi adalah metode ekstraksi menggunakan sokhlet dengan pemanasan pada sampel yang memiliki kandungan senyawa yang tidak terpengaruh oleh panas. Proses ekstraksi ini tidak menggunakan waktu yang lama seperti maserasi.

### **3. Perkolasi**

Perkolasi merupakan suatu metode ekstraksi yang melewati pelarut organik pada sampel sehingga kandungan senyawanya akan terbawa bersama pelarut. Hal yang harus diperhatikan ialah pengambilan senyawa yang diinginkan harus diketahui

kelarutannya terhadap pelarut yang digunakan (Ilyas, 2013: 3). Pada perkolasi memiliki sasaran utama untuk menarik senyawa yang berkhasiat secara total. Kekurangan dari metode ini ialah prosesnya menggunakan waktu yang lama dan mahal dikarenakan dibutuhkan pelarut dalam jumlah yang besar (Agoes, 2007: 39).

#### **4. Ultrasonic-Assisted Solvent Extraction**

Ultrasonic-Assisted Solvent Extraction merupakan metode maserasi yang dibantu dengan alat ultrasonik dengan sinyal frekuensi 50 kHz dengan menggunakan efek kavitasi (Mukhriani, 2014: 362). Proses pengerjaan menggunakan metode ini terbilang efektif karena waktu yang diperlukan lebih singkat dibandingkan dengan maserasi biasa serta dapat digunakan untuk sampel yang tidak tahan panas.

#### **G. Identifikasi Senyawa**

Mengidentifikasi struktur suatu senyawa dapat dilakukan dengan menggunakan bantuan alat-alat instrumen. Hal tersebut mampu menanggulangi penggunaan waktu yang relatif lama jika menggunakan penentuan struktur secara konvensional. Selain itu, penggunaan sampel lebih efisien menggunakan metode modern, serta tingkat keakuratan lebih tinggi dengan menggunakan metode modern dibandingkan konvensional. Selain menggunakan alat instrumen, menentukan suatu senyawa dapat juga dilakukan dengan metode Skrining Fitokimia. Beberapa metode spektroskopi dalam menentukan struktur suatu senyawa, yaitu:

##### **1. Spektroskopi UV-Vis**

Spektroskopi menyangkut tentang penyerapan sinar tampak maupun sinar ultraviolet yang akan berinteraksi antara panjang gelombang dengan molekul-molekul yang dianalisa akan mengalami penyerapan sinar radiasinya baik ultraviolet

maupun sinar tampak sehingga mengakibatkan adanya transisi tingkat energi elektroniknya. Dalam karakteristik panjang gelombang pada spektrofotometri UV-Vis digunakan satuan nanometer (nm), Angstrom ( $\text{\AA}$ ) dan millimicron ( $m\mu$ ) (ThermoSpectronic, 2010: 28). Suatu senyawa terkhususnya senyawa organik memiliki ikatan sigma ( $\delta$ ) maupun phi ( $\pi$ ) yang akan berpengaruh dalam penyerapan energinya di mana elektron pada ikatan sigma yang memiliki energi ikatan yang lebih besar dibandingkan dengan ikatan phi. Pada ikatan sigma ketika diberikan energi akan memberikan serapan panjang gelombang 120-200 nm yang disebut dengan daerah serapan sinar ultraviolet. Sedangkan pada penyerapan panjang gelombang di atas 200 nm terjadi eksitasi elektron pada orbital  $\pi$  terkonjugasi (Unang, 2010: 9).

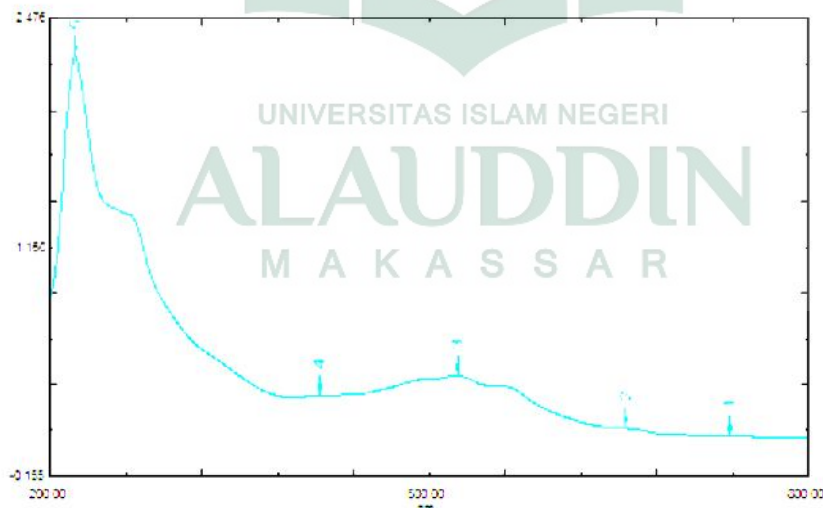


**Gambar 2.9. Spektrofotometer UV-Vis**

Penyerapan puncak ( $\lambda_{\text{max}}$ ) mampu mengidentifikasi jenis ikatan yang ada pada suatu molekul atau senyawa. Oleh karena itu dapat digunakan sebagai identifikasi gugus fungsi dari suatu molekul (analisis kualitatif) dan analisis secara kuantitatif. Absorpsi pada sinar UV-Vis pada panjang gelombang besar hanya dapat

mendeteksi sebagian gugus fungsi (gugus *kromofor*) yang mengandung elektron valensi dengan energi eksitasi yang rendah (Kristianingrum, 2013: 6).

Adanya transisi  $\delta \rightarrow \delta^*$ , transisi  $n \rightarrow \delta^*$  akan terjadi pada senyawa yang jenuh dan tidak memiliki PEB (pasangan elektron bebas). Panjang gelombang pada transisi  $n \rightarrow \delta^*$  seperti juga pada  $\pi \rightarrow \pi^*$  terjadi pada senyawa organik. Transisi pada  $\pi \rightarrow \pi^*$  akan mengakibatkan  $\lambda_{\max}$  bergeser ke  $\lambda$  yang lebih pendek jika ditambahkan pelarut polar. Dengan adanya penambahan kepolaran mengakibatkan panjang gelombang bergeser ke arah panjang gelombang yang pendek (pergeseran biru atau *hipsokromik*) (Kristianingrum, 2013: 6). Hal tersebut dikarenakan gaya polarisasi antara pelarut dan molekul yang diidentifikasi dan juga oleh konyugasi yang hilang akibat pelarut penggeser (Supratman, 2010: 20). Gambar 2.10 merupakan salah satu spektrum serapan panjang gelombang pada spektrofotometer UV-Vis.



**Gambar 2.10. Spektrum Serapan Panjang Gelombang Senyawa Antosianin (Baharuddin, Amin dkk, 2016: 40)**

## 2. Spektroskopi FTIR (*Fourier Transform InfraRed*)

FTIR merupakan suatu alat instrumen yang menunjang dalam menentukan gugus fungsi suatu senyawa. Spektrum FTIR memiliki bilangan panjang gelombang 4000-400  $\text{cm}^{-1}$  (Silverstain, dkk, 2005: 78) lebih panjang dibandingkan dengan UV-Vis sehingga energinya lebih rendah. Suatu ikatan pada senyawa atau molekul memiliki bilangan panjang gelombang yang spesifik dikarenakan adanya transisi tingkat energi mengalami vibrasi atau getaran yang berlainan (Supratman, 2010: 66).



Gambar 2.11. Spektroskopi FTIR

Penyerapan sinar IR pada suatu molekul dilandasi oleh bentuk yang tidak simetris contohnya  $\text{CO}_2$  dengan struktur  $\text{O}=\text{C}=\text{O}$  karena simetris, sehingga tidak mampu menyerap sinar IR (Sitorus, 2009: 33). Adapun daerah serapan IR beberapa ikatan kimia dilihat pada Tabel 2.2.

Tabel 2.2. Daerah Serapan Inframerah beberapa Ikatan Kimia

<b>Tipe Ikatan</b>	<b>Daerah Serapan (<math>\text{cm}^{-1}</math>)</b>
<b>C-C, C-O, C-N</b>	1300-800
<b>C=C, C=O, C=N, N=O</b>	1900-1500
<b>C-H, O-H, N-H</b>	3800-2700

(Sumber: Supratman, 2010:72)

### 3. *Skrining Fitokimia*

Kandungan senyawa yang terdapat dalam suatu tumbuhan dapat dianalisa golongan senyawanya dengan uji warna dengan beberapa pereaksi untuk penggolongan senyawa alkaloid, flavonoid, terpenoid, steroid, dan saponin. Hasil skrining fitokimia tersebut dapat diketahui dengan perubahan warna yang spesifik yang menandakan hasil uji positif. Fitokimia sendiri memiliki arti yaitu mengidentifikasi senyawa bioaktif yang terkandung (Harbone, 1987: 35). Hasil positif untuk beberapa pereaksi dapat dilihat pada Tabel 2.3. di bawah ini.

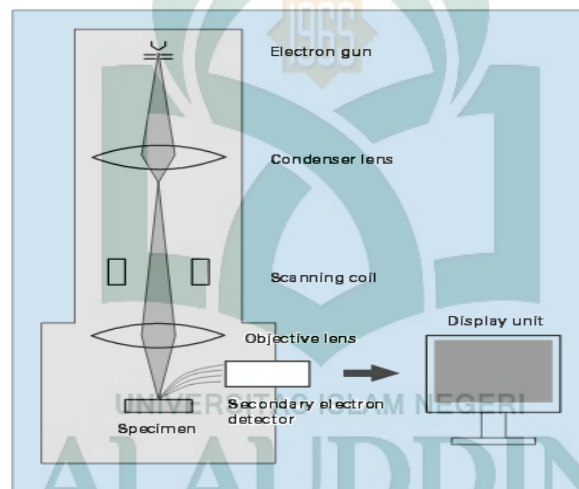
**Tabel 2.3.** Hasil Positif Uji Fitokimia

Uji Fitokimia	Pereaksi	Hasil positif
<b>Alkaloid</b>	Dragendroff	Endapan merah atau jingga
	Wagner	Warna Jingga atau endapan coklat
<b>Flavonoid</b>	Mayer	Endapan putih kekuningan
	NaOH 10%	Kuning tua menjadi kuning muda
	H <sub>2</sub> SO <sub>4</sub>	Kuning tua menjadi merah muda
<b>Terpenoid</b>	FeCl <sub>3</sub>	Hijau kekuningan
		Merah keunguan
<b>Steroid</b>	Liebermann Burchard	Biru atau Hijau

(Sumber: Harbone, 1987)

## H. *Scanning Elektron Microscopy (SEM)*

SEM merupakan salah satu dari beberapa alat mikroskop yang memanfaatkan berkas elektron dalam mendeteksi bentuk atau morfologi dari suatu permukaan sampel. SEM memiliki prinsip dasar pada penembakan elektron terhadap permukaan benda. Proses penembakan berkas elektron yang memiliki energi tinggi pada permukaan benda akan memantulkan kembali berkas elektron tersebut sehingga menghasilkan berkas elektron sekunder yang memantul ke segala arah (Abdullah dan Khairurrijal, 2009: 1).

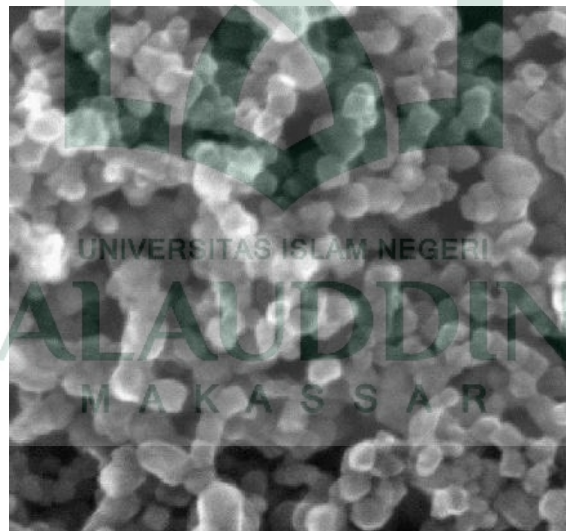


Gambar 2.11. Rangkaian alat *Scanning Elektron Microscopy (SEM)* (Sumber: Jeol)

Pemantulan berkas elektron sekunder itulah yang akan dideteksi oleh detektor di dalam SEM, sehingga akan menghasilkan data mengenai morfologi atau profil dari permukaan benda tersebut. SEM memiliki resolusi tinggi sehingga dapat memberikan keuntungan dari segi pembesaran yang relatif lebar dan fokus dibandingkan dengan mikroskop optik dan juga tampilan hasil berupa dua dimensi (Stadtlanderm, 2007: 4). Hal tersebut karena panjang gelombang elektron lebih pendek dibandingkan dengan

gelombang optik sehingga resolusi mikroskop makin tinggi (Abdullah dan Khairurrijal, 2009: 1).

Pada rangkaian alat *Scanning Elektron Microscopy (SEM)*, terdapat sebuah sistem optik yang akan menghasilkan probe elektron, unit tampilan gambar, sistem operasi untuk mengendalikan atau mengontrol dalam operasi alat dan juga terdapat tahap spesimen untuk menempatkan spesimen-spesimen serta detektor untuk mendeteksi elektron sekunder (Jeol, 2009: 3). Hal tersebut dapat dilihat pada Gambar 2.11 yang merupakan komponen-komponen alat SEM. Adapun penggunaan *Scanning Electron Microscopy (SEM)* dapat dilihat pada Gambar 2.12 yang merupakan gambar dari morfologi permukaan nanokristal  $\text{TiO}_2$  dalam penggunaannya pada DSSC.



**Gambar 2.12.** *Scanning Electron Microscopy (SEM)* pada nanokristal  $\text{TiO}_2$  (anatase) dalam dssc

(Gratzel, 2003)



## **BAB III**

### **METODE PENELITIAN**

#### ***A. Waktu dan Tempat Penelitian***

Penelitian dilakukan pada bulan Juli-Agustus 2017. Preparasi sampel dilakukan di Laboratorim Kimia Organik Universitas Islam Negeri Alauddin Makassar, analisis Spektrofotometer UV-VIS dan FTIR dilakukan di Laboratorium Instrumen Universitas Islam Negeri Alauddin, dan uji *Scanning Electron Microscopy* (SEM) dilakukan di Laboratorium Mikrostruktur Fisika UNM.

#### ***B. Alat dan Bahan***

##### **1. Alat**

Alat-alat yang akan digunakan pada penelitian ini, yaitu spektrofotometer FTIR *Nicolet iS10*, Spektrofotometer UV-Vis *Varian Cary 50 Conc*, SEM (*Scanning Electron Microscopy*) *tescan Vega3SB*, multimeter DT-680B, *rotary vaccum evaporator*, neraca analitik, kaca TCO (*Transparent Conductive Oxide*), Luxmeter, potensiometer 50 k $\Omega$ , *hot plate*, kabel, alat gelas, plat tetes, dan spatula.

##### **2. Bahan**

Simplisia yang digunakan adalah daun pare (*momordica charanti*) yang diperoleh dari Kecamatan Bajeng, Gowa dan bahan kimia meliputi aquadest (H<sub>2</sub>O), asam sulfat (H<sub>2</sub>SO<sub>4</sub>) p.a, besi(III) klorida (FeCl<sub>3</sub>) 5%, etanol (C<sub>2</sub>H<sub>5</sub>OH), etil asetat (C<sub>4</sub>H<sub>8</sub>O<sub>2</sub>) (Bratachem), iodin (I<sub>2</sub>), daun pare (*Momordica charantia*), kalium iodida (KI), kertas saring biasa, lilin, metanol (CH<sub>3</sub>OH) (Bratachem), n-heksan (C<sub>6</sub>H<sub>14</sub>) (Bratachem), natrium hidroksida (NaOH) 10%, Titanium Dioksida (TiO<sub>2</sub>) catalog

7508, isolasi bening, pereaksi Dragendroff, pereaksi Mayer, pereaksi Wagner, dan pereaksi Lieberman-Burchard.

### ***C. Prosedur Penelitian***

#### **1. Ekstraksi Serbuk Daun Pare (Rita, dkk., 2012)**

Sampel daun pare terlebih dahulu dipotong-potong kecil dan dikeringkan pada suhu kamar kemudian diblender untuk mendapatkan serbuk daun pare. Ekstraksi dimulai dengan pelarut *n*-heksan, dilanjutkan dengan pelarut etil asetat dan terakhir dengan pelarut metanol. Ditimbang sebanyak  $\pm 300$  gr serbuk daun pare kemudian dimasukkan ke dalam toples dan direndam dengan *n*-heksan selama  $\pm 24$  jam pada suhu kamar. Ekstraksi diulang hingga diperoleh filtrat yang tidak berwarna. Dengan cara yang sama, residu kemudian diekstraksi dengan pelarut etil asetat. Pada tahap akhir, residu diekstraksi kembali dengan pelarut metanol. Filtrat yang diperoleh kemudian dipekatkan dengan menggunakan *rotary vacuum evaporator* pada suhu 40-50 °C dan 50 rpm hingga membentuk ekstrak kental. Ekstrak kental *n*-heksana, etil asetat dan metanol ditimbang masing-masing  $\pm 0,02$  gram untuk membuat ekstrak gabungan.

#### **2. Aplikasi zat warna pada DSSC**

##### **a. Preparasi TiO<sub>2</sub> (Baharuddin, Amin dkk., 2016)**

TiO<sub>2</sub> p.a catalog 7508 ditimbang  $\pm 1$ gram kemudian dilarutkan menggunakan etanol (C<sub>2</sub>H<sub>5</sub>OH) 5 mL hingga terbentuk pasta.

#### **b. Pembuatan Gel Elektrolit (Rofi'ah dan Prajitno, 2013)**

Untuk larutan elektrolit digunakan Kalium Iodida (KI) ditimbang sebanyak 0,83 gr lalu ditambahkan dengan Iodin ( $I_2$ ) sebanyak 0,127 gr dan dilarutkan dalam 10 mL aquades.

#### **c. Pembuatan Elektroda Pembanding (Baharuddin, Amin dkk., 2016)**

Kaca TCO dibersihkan dengan aquadest dalam ultrasonik kemudian dikeringkan. Setelah itu, kaca TCO dipanaskan di atas api (lilin) hingga terbentuk warna hitam pada kaca TCO.

#### **d. Pembuatan Perangkat DSSC dengan Penambahan Zat Warna Daun Pare (Baharuddin, Amin dkk., 2016)**

Kaca TCO yang telah dibersihkan ditutup dengan isolasi bening disalah satu sisinya dan dilakukan pelapisan menggunakan pasta  $TiO_2$  p.a kemudian dilakukan proses sintering selama 30 menit. Kaca TCO yang telah dilapisi dengan pasta  $TiO_2$  kemudian ditetesi dengan ekstrak daun pare dan dibiarkan beberapa saat hingga terserap ke dalam  $TiO_2$ . Selanjutnya ditambahkan larutan gel elektrolit dan ditutup dengan elektroda pembanding. Setelah rangkaian DSSC selesai, kemudian disambungkan dengan alat multimeter dan pengukur intensitas cahaya. Lalu disinari dengan sinar matahari dan dicatat arus serta tegangan yang dihasilkan oleh rangkaian DSSC.

### **3. Karakterisasi Senyawa pada Ekstrak Daun Pare**

Ekstrak kental daun pare kemudian dikarakterisasi dengan instrumen Spektrofotometer UV-Vis, FTIR, dan uji skrining fitokimia yang meliputi:

a. Uji dengan  $\text{H}_2\text{SO}_4$  p.a

Sampel diencerkan menggunakan pelarutnya kemudian dipipet ke dalam plat tetes dan ditetesi dengan  $\text{H}_2\text{SO}_4$  Pekat. Amati perubahan warna yang terjadi.

b. Uji dengan  $\text{FeCl}_3$  5%

Sampel diencerkan menggunakan pelarutnya kemudian dipipet kedalam plat tetes dan ditetesi dengan  $\text{FeCl}_3$  5%. Amati perubahan warna yang terjadi.

c. Uji dengan  $\text{NaOH}$  10%

Sampel diencerkan menggunakan pelarutnya kemudian dipipet kedalam plat tetes dan ditetesi dengan  $\text{NaOH}$  10%. Amati perubahan warna yang terjadi.

d. Pereaksi Dragendorf

Sampel diencerkan menggunakan pelarutnya kemudian dipipet kedalam plat tetes dan ditetesi dengan pereaksi Dragendorf. Amati perubahan warna yang terjadi.

e. Pereaksi Mayer

Sampel diencerkan menggunakan pelarutnya kemudian dipipet kedalam plat tetes dan ditetesi dengan pereaksi Mayer. Amati perubahan warna yang terjadi.

f. Pereaksi Wagner

Sampel diencerkan menggunakan pelarutnya kemudian dipipet kedalam plat tetes dan ditetesi dengan pereaksi Wagner. Amati perubahan warna yang terjadi endapan berwarna jingga.

g. Pereaksi Lieberman-Burchard

Sampel diencerkan menggunakan pelarutnya kemudian dipipet kedalam plat tetes dan ditetesi dengan pereaksi Lieberman-Burchard. Amati perubahan warna yang terjadi.

**4. Uji *Scanning Electron Microscopy* (SEM)**

Kaca TCO dipotong dengan ukuran 0,5 cm x 0,5 cm. Kaca TCO yang telah dibersihkan, diletakkan di atas meja kerja. Salah satu sisinya ditutupi dengan isolasi bening lalu dilakukan proses pelapisan dengan pasta  $\text{TiO}_2$  p.a kemudian dilakukan sintering selama 30 menit. Kaca TCO yang telah dilapisi kemudian ditetesi dengan ekstrak daun pare yang memiliki nilai efisiensi yang tinggi lalu dibiarkan hingga ekstrak tersebut meresap. Selanjutnya di uji menggunakan SEM.

**BAB IV**  
**HASIL DAN PEMBAHASAN**

**A. Hasil Penelitian**

**1. Ekstraksi**

Ekstraksi daun pare dengan pelarut berbeda-beda, yaitu n-heksan, etil asetat dan metanol didapatkan bobot dan rendamen ekstrak yang berbeda-beda. Dapat dilihat pada Tabel 4.1.

**Tabel 4.1.** Bobot Ekstrak Daun Pare

No.	Ekstrak	Bobot ekstrak (gr)	Rendamen (%)
1	Metanol	28,8	9,6
2	Etil asetat	11,9	3,4
3	N-heksan	3,5	1,1

**2. Efisiensi DSSC**

Nilai efisiensi dengan *sensitizer* ekstrak daun pare dapat dilihat pada Tabel 4.2.

**Tabel 4.2.** Nilai Efisiensi Tertinggi Ekstrak Daun Pare

No.	Ekstrak	Nilai Efisiensi ( $\eta$ ) (%)
1	Gabungan	0.30
2	Metanol	0.14
3	Etil Asetat	0.04
4	N-Heksan	0.03

### 3. Karakterisasi zat warna

Karakterisasi zat warna pada ekstrak daun pare meliputi analisis dengan Spektrofotometer UV-Vis dan FTIR. Pengujian bertujuan untuk mengidentifikasi senyawa yang terkandung. Hasil analisis dapat dilihat pada tabel berikut.

#### a). Skrining Fitokimia

Tabel 4.3. Hasil Skrining Fitokimia

Golongan senyawa metabolit sekunder	Ekstrak			
	Gabungan	Metanol	Etil Asetat	N-Heksana
Terpen	-	-	-	-
Flavonoid	+	+	+	+
Alkaloid	+	+	+	-

Keterangan: + = Positif, - =Negatif

#### b). Spektrofotometer UV-Vis pada daerah

Tabel 4.4 Hasil analisis UV-Vis Ekstrak Daun Pare

No	Jenis Ekstrak Daun Pare	Panjang Gelombang maksimum ( $\lambda$ )	Absorbansi
1	Ekstrak Gabungan	663.1 nm	0.024
2	Ekstrak Metanol	663.9 nm	0.049
3	Ekstrak Etil Asetat	668.0 nm	0.027
4	Ekstrak N-Heksan	269.1 nm	0.586

## b). Spektrofotometer FTIR

Tabel 4.5. Hasil analisis FTIR ekstrak Gabungan

No	Vibrasi Bilangan Gelombang	Gugus Fungsi	Bentuk Pita
1	3406.46	N-H	Lebar dan sedang
2	2929.73 dan 2851.06	C-H	Sedang
3	1709.40	C=O	Sedang
4	721.06	Aromatik	Lemah

Tabel 4.6. Hasil analisis FTIR ekstrak Metanol

No	Vibrasi Bilangan Gelombang	Gugus Fungsi	Bentuk Pita
1	3411.74	-OH	Lebar dan kuat
2	2928.48	C-H	Sedang
3	1053.32	-C-O	kuat
4	652.85	Aromatik	Lemah

Tabel 4.7. Hasil analisis FTIR ekstrak Etil Asetat

No	Vibrasi Bilangan Gelombang	Gugus Fungsi	Bentuk Pita
1	3401.56	N-H	Lebar dan kuat
2	2923.12 dan 2852.09	C-H	kuat
3	1709.85	C=O	kuat
4	720.53	Aromatik	Lemah



Tabel 4.8 Hasil analisis FTIR ekstrak N-heksan

No	Vibrasi Bilangan Gelombang	Gugus Fungsi	Bentuk Pita
1	2920.38 dan 2850.80	C-H	Sedang
2	1736.69	C=O	lemah
3	723.79	Aromatik	Lemah

## B. Pembahasan

### 1. Ekstraksi Daun pare

Sel surya khususnya *Organic Surya Cell* (OSC) yang menggunakan bahan dasar senyawa alam yang saat ini telah banyak dikembangkan untuk mendapatkan nilai efisiensi yang tinggi. Pada penelitian ini digunakan sampel daun jati yang diekstraksi dengan metode maserasi. Maserasi bertujuan untuk mengambil semua komponen-komponen senyawa yang terkandung pada simplisia daun pare dengan menggunakan pelarut yang memiliki tingkat kepolaran berbeda-beda, seperti n-heksan, etil asetat, dan metanol. Sehingga diinginkan senyawa yang memiliki tingkat kepolaran yang sama dengan pelarut dapat tertarik.

Proses maserasi dilakukan sebanyak 1 x 24 jam dikarenakan agar proses penarikan senyawa dapat diambil secara keseluruhan. Kemudian hasil maserasi (maserat) di uapkan menggunakan *Rotary Evaporation* agar dapat dipisahkan dengan pelarutnya sehingga didapatkan ekstrak kental. Perbedaan warna pada ekstrak dipengaruhi oleh kandungan senyawa yang terdapat didalamnya. Ekstrak yang diperoleh menghasilkan rendamen dan bobot yang berbeda-beda. perolehan ekstrak dari 300 gram daun pare setelah proses ekstraksi berturut-turut yaitu pada ekstrak metanol didapatkan bobot sebesar 28.8 gr dengan rendamen sebesar 9.6%, ekstrak etil asetat didapatkan bobot dan rendamen sebesar 11.9 gr dan 3.9%, dan untuk ekstrak

n-heksan diperoleh bobot ekstrak paling sedikit yaitu sebesar 3.5 dengan rendamen sebesar 1.1%.

## 2. . Rangkaian DSSC

Komponen DSSC dirangkai menggunakan kaca TCO jenis ITO (*Indium Tin Oxide*) dengan resistensi tergolong kecil yaitu sebesar  $< 7\Omega$  sehingga memudahkan elektron dari zat warna yang telah tereksitasi menuju katoda. Semikonduktor yang digunakan adalah pasta  $\text{TiO}_2$  yang kemudian dilapiskan proses *sintering* yang bertujuan untuk menghindari cepatnya terkelupas lapisan  $\text{TiO}_2$ . Pada proses *sintering* yang baik,  $\text{TiO}_2$  mengalami perubahan warna dari putih menjadi coklat yang menandakan bahwa  $\text{TiO}_2$  telah beradaptasi dengan suhu tinggi (*Thermalstress*) dan kembali memutih pada suhu ruang.

Setelah proses *sintering* selesai, dilakukan pemberian zat warna ekstrak daun pare pada semikonduktor  $\text{TiO}_2$  (elektroda). Ekstrak yang telah diencerkan sesuai dengan pelarutnya, kemudian ditetaskan dengan merata ke seluruh permukaan  $\text{TiO}_2$  dan dibiarkan hingga menyerap. Ini ditandai dengan berubahnya warna putih  $\text{TiO}_2$  menjadi warna ekstrak. Semikonduktor  $\text{TiO}_2$  hanya mampu menyerap sinar ultraviolet (UV) dengan serapan panjang gelombang 350-380 (Rofi'ah dan Gotjang, 2013: 3), untuk itu pemberian zat warna diharapkan mampu meningkatkan serapan spektra  $\text{TiO}_2$  di daerah serapan sinar tampak (*Visible*). Kemudian dilakukan pembuatan elektroda pembanding yang berfungsi untuk mentransfer elektron dari luar lapisan menuju elektrolit. Hal ini dapat diperoleh dengan cara memanaskan kaca ITO (*Indium Tin Oxide*) menggunakan lilin hingga terbentuk warna hitam yang menandakan adanya karbon. Karbon digunakan karena memiliki konduktivitas yang tinggi dan cukup stabil. Elektroda pembanding dilekatkan terhadap elektroda

kemudian ditetesi larutan elektrolit. Elektrolit yang digunakan untuk DSSC ialah  $I/I_3$  yang berfungsi untuk mentransfer elektron ke zat warna yang teroksidasi. Rangkaian DSSC dapat dilihat pada Gambar 4.1



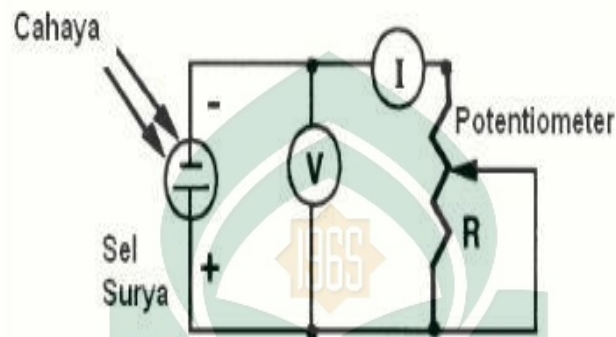
Gambar 4.1. Rangkaian DSSC

### 3. Efisiensi DSSC

Efisiensi DSSC diukur menggunakan multimeter dibawah sinar matahari. DSSC merupakan sel fotovaltalik yang mana merupakan sebuah alat non-linear sehingga untuk menganalisa karakteristiknya digunakan suatu grafik. DSSC yang menghasilkan energi listrik dapat diamati berdasarkan arus dan tegangan yang dihasilkannya. Sehingga kurva hubungan antara arus dan tegangan (I-V) menggambarkan sifat sel surya secara lengkap. Optimalisasi penggunaan potensiometer bertujuan untuk mendapatkan hubungan antara arus (I) dan tegangan (V) menggunakan grafik. Hal ini menunjukkan jika hambatan (R) kecil maka sel surya akan beroperasi sebagai sumber arus ( $I_{sc}$ ) atau arus yang dihasilkan besar dan jika hambatan (R) besar maka sel surya beroperasi sebagai tegangan yang konstan ( $V_{oc}$ ) (Salihat, 2015: 33). Nilai efisiensi sel surya dihitung menggunakan persamaan:

$$\eta = \frac{P_{max}}{P_{in}} \times 100\%$$

Daya yang diterima ( $P_{in}$ ) didapatkan dari konversi nilai luxmeter menjadi dengan konstanta  $1 \text{ lux} = 1.464 \cdot 10^{-7} \text{ W/M}^2$ . Rangkaian pengukuran nilai efisiensi dapat dilihat pada Gambar 4.2.



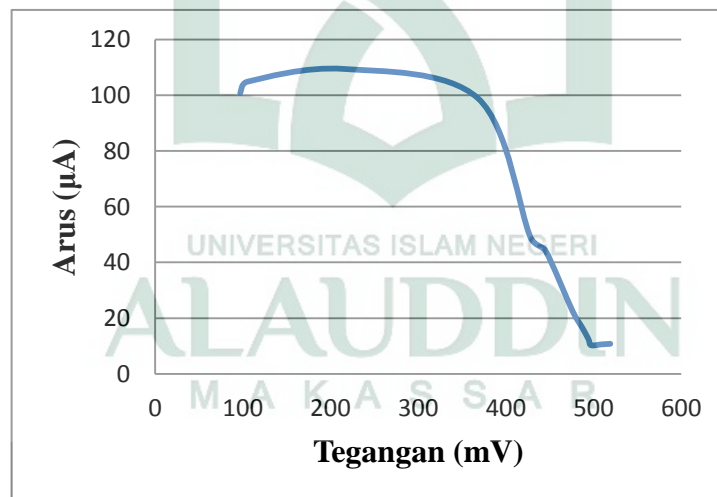
**Gambar 4.2.** Rangkaian Pengukuran Nilai Efisiensi DSSC

Penelitian ini dilakukan dengan menguji berbagai ekstrak berdasarkan perbedaan kepolaran dari daun pare sehingga didapatkan pengaruh kandungan senyawa ekstrak daun pare. Selain itu, ekstrak digabung dengan mencampurkan ekstrak non-polar (n-heksan), semipolar (etil asetat), dan polar (metanol). Ekstrak gabungan diharapkan mampu memberikan nilai efisiensi yang tinggi dengan penyerapan panjang gelombang yang lebih luas.

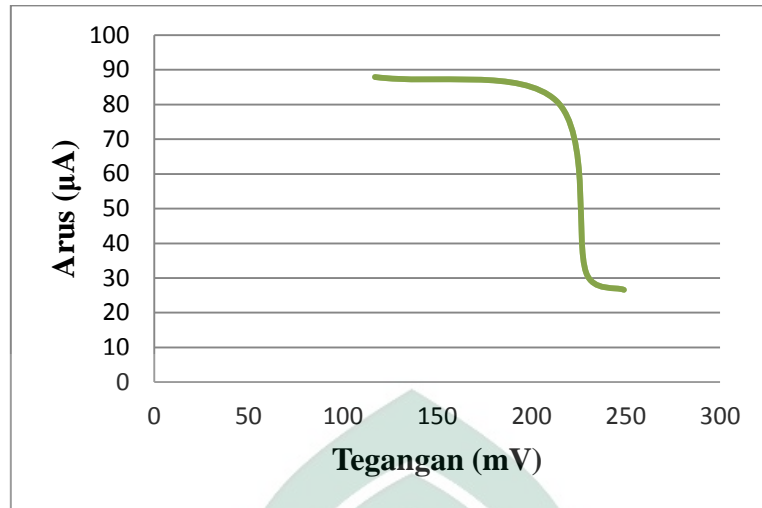
Nilai efisiensi DSSC untuk ekstrak n-heksan daun pare yang didapatkan sebesar 0,03%, ekstrak etil asetat sebesar 0.04%, ekstrak metanol sebesar 0.14% dan untuk ekstrak gabungan didapatkan sebesar 0.30%. Nilai tersebut masih tergolong rendah jika dibandingkan dengan nilai efisiensi DSSC pada umumnya sebesar 2-3% (Grätzel, 2001: 344). Peningkatan nilai tersebut dikarenakan senyawa yang diindkasikan

terkandung dalam daun pare paling banyak mengandung senyawa polar seperti polifenol dan senyawa lainnya seperti klorofil (Mutiara dan Ahmad Wildan 2014: 4-6) yang mengakibatkan mudahnya berikatan dengan  $\text{TiO}_2$  serta semakin banyaknya terjadi konjugasi (delokalisasi elektron  $\pi$ ) dari struktur senyawa maka akan menyerap panjang gelombang yang lebih besar.

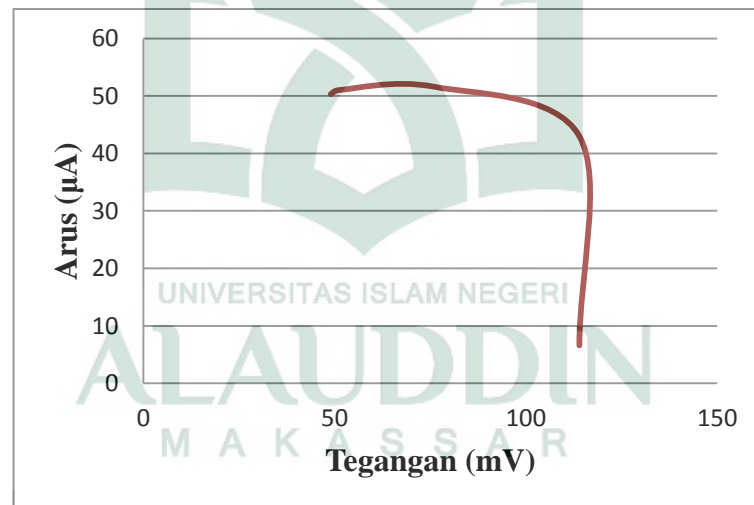
Kurva ideal akan memiliki bentuk melengkung. Lengkungan yang diperoleh pada saat pengukuran hanya mengalami sedikit penurunan atau relatif konstan sedangkan tegangan akan mengalami kenaikan yang cukup tinggi pada saat hambatan diperbesar (Salihat, 2015: 55). Hal tersebut dapat dilihat pada kurva dibawah ini yang menunjukkan hubungan arus terhadap tegangan (I-V) masing-masing ekstrak.



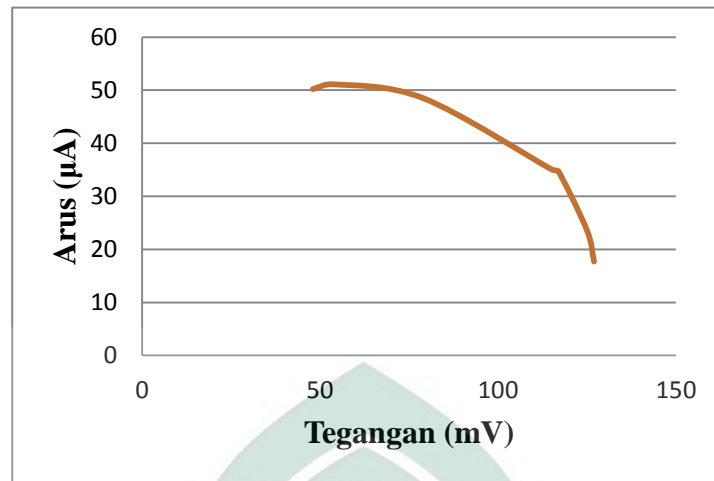
**Grafik 4.1.** Kurva Hubungan Arus Terhadap Tegangan pada Ekstrak Gabungan



**Grafik 4.2.** Kurva Hubungan Arus Terhadap Tegangan pada Ekstrak Metanol



**Grafik 4.3.** Kurva Hubungan Arus Terhadap Tegangan pada Ekstrak Etil Asetat



**Grafik 4.4.** Kurva Hubungan Arus Terhadap Tegangan pada Ekstrak N-Heksan

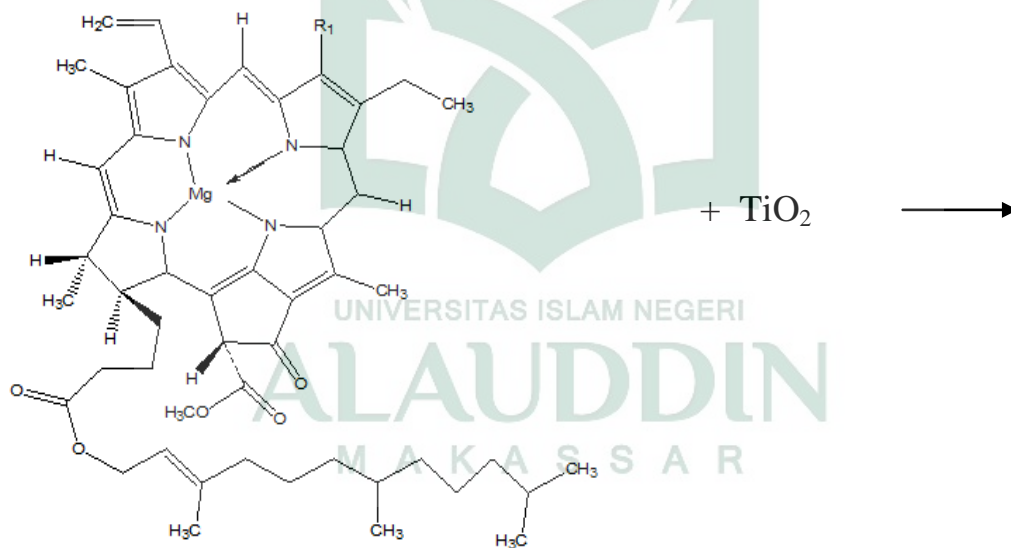
#### 4. Karakterisasi Senyawa pada Ekstrak Daun Pare

##### a. *Skrining Fitokimia*

Secara umum, hasil skrining fitokimia menunjukkan bahwa golongan senyawa yang terdapat dalam daun pare yang diamati meliputi golongan Flavonoid dan Alkaloid. Keempat Ekstrak mengandung komponen senyawa tersebut. Perbedaan kandungan senyawa tersebut karena ekstraksi digunakan dengan pelarut yang memiliki kepolaran berbeda.

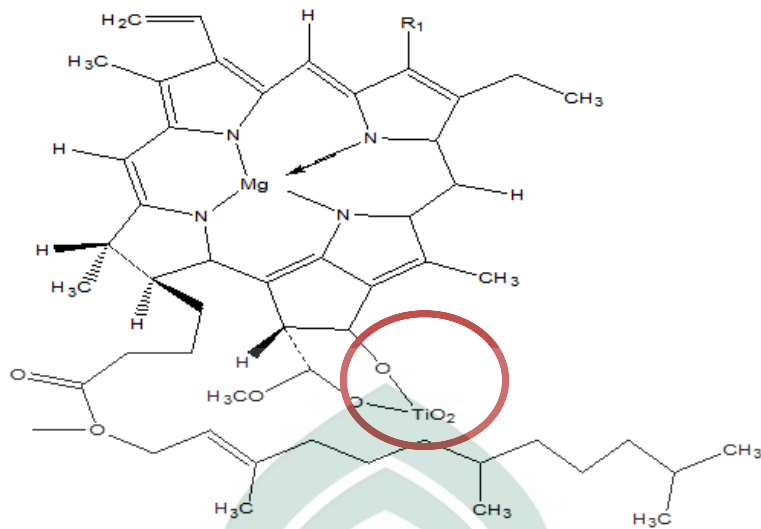
Hasil pengujian pada ekstrak Gabungan, Metanol, dan Etil Asetat menunjukkan adanya kandungan flavonoid (senyawa fenolik) ditunjukkan dengan adanya warna kuning muda dengan penambahan NaOH 10%. Untuk hasil positif senyawa alkaloid ditandai dengan adanya perubahan warna kuning atau putih dengan penambahan reagen Mayer dan endapan jingga untuk penambahan reagen Dragendroff. Hal tersebut terjadi pada ekstrak gabungan, methanol, dan etil asetat. Klorofil merupakan zat warna yang paling banyak dikandung oleh daun dan merupakan golongan senyawa alkaloid karena

mengandung unsur nitrogen. Untuk ekstrak gabungan didapatkan hasil positif berupa golongan flavonoid yang diindikasikan proses pencampuran dari ketiga ekstrak tidak merata sehingga pada pengujian hanya golongan flavonoid saja yang teridentifikasi. Karena hal tersebut diperjelas dengan data Spektrofotometer UV-Vis pada ekstrak gabungan yang diindikasikan mengandung klorofil. Adanya perbedaan kandungan mempengaruhi hasil dari nilai efisiensi DSSC yang mana gugus-gugus yang pada senyawa yang terkandung akan mempengaruhi dalam pengikatannya dengan semikonduktor  $\text{TiO}_2$ . Gambar 4.3 menggambarkan pengikatan  $\text{TiO}_2$  dengan zat warna klorofil.



Klorofil





**Gambar 4.3** Pengikatan  $\text{TiO}_2$  dengan Zat Warna Klorofil

#### **b. Spektrofotometer UV-Vis**

Pengujian pada semua ekstrak daun pare pada Spektrofotometer UV-Vis bertujuan untuk mengetahui serapan panjang gelombang maksimal. Hasil tersebut dapat dilihat pada Lampiran V yang menunjukkan adanya serapan pada daerah Ultraviolet (200-400 nm) dan *Visible* atau sinar tampak (400-800 nm).

Penyerapan yang terjadi di daerah ultraviolet dengan panjang gelombang 210 nm menunjukkan penyerapan panjang gelombang dari pelarut yang digunakan yaitu etanol. Etanol digunakan karena kebanyakan golongan senyawa metabolit sekunder dapat larut dengan penambahan etanol (Harbone, 1987: 23). Pada daerah tampak, penyerapan paling tinggi berturut-turut untuk ekstrak gabungan, metanol dan, etil asetat adalah 663.1 nm, 663.9 nm, dan 668.0 nm. Menurut Harbone (1987: 263-264) adanya puncak utama di sekitar 400-an nm dengan sejumlah puncak kecil di daerah 500-an nm dan satu

puncak lagi di atas 625 nm, hal tersebut mengindikasikan adanya kandungan senyawa klorofil. Selain klorofil, terdapat juga senyawa flavonoid pada serapan panjang gelombang 400an pada masing-masing ekstrak gabungan, metanol dan etil asetat. Hal tersebut juga didukung oleh hasil kringing fitokimia bahwa ekstrak gabungan, metanol, dan etil asetat mengandung senyawa flavonoid dan alkaloid. Pada ekstrak Gabungan bentuk puncak bergeser menjadi lebih pendek dibandingkan dengan metanol, dikarenakan bertambahnya kepolaran pelarut pada transisi  $n \rightarrow \pi^*$  sehingga bentuk puncak bergeser ke panjang gelombang yang lebih pendek (pergeseran biru atau hipsokromik).

Hasil UV-Vis pada ekstrak n-heksan dengan penyerapan pada daerah ultraviolet dengan panjang gelombang maksimal pada 269 nm. Hal tersebut diindikasikan adanya senyawa golongan senyawa fenol jenis flavonoid (Harbone, 1987: 109-112). Untuk ekstrak n-heksan yang diindikasikan mengandung flavonoid menghasilkan nilai efisiensi yang rendah dikarenakan sinar matahari menghasilkan 5% spektra dibawah sinar ultraviolet dan 45% di daerah cahaya tampak (*visible*) (Rofi'ah dan Gotjang, 2013: 3). Dengan kemampuan absorbansi ekstrak n-heksan pada panjang gelombang didaerah ultraviolet yang menyebabkan penyerapan sinar matahari tidak maksimal sehingga tidak memaksimalkan kerja DSSC atau dengan kata lain nilai efisiensi yang dihasilkan kecil sedangkan untuk ekstrak gabungan, metanol dan etil asetat yang memiliki serapan panjang gelombang didaerah sinar tampak (*visible*) menghasilkan nilai efisiensi yang cukup tinggi.

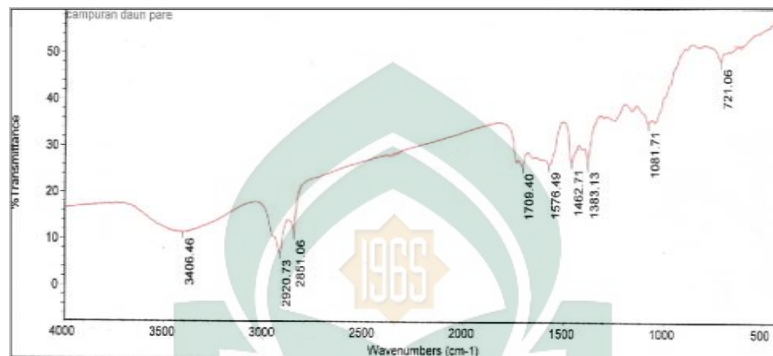
Senyawa-senyawa tersebut mengalami transisi elektron dari  $\pi \longrightarrow \pi^*$  dan transisi elektron dari  $n \longrightarrow \pi^*$ . Transisi  $\pi \longrightarrow \pi^*$  terjadi karena adanya delokalisasi elektron sehingga terjadi konjugasi pada ikatan rangkapnya. Semakin banyak ikatan yang tidak jenuh atau rangkap maka akan terjadi perpanjangan konjugasi mengakibatkan energi transisi akan lebih kecil dan akan menyerap panjang gelombang lebih besar atau terjadi pergeseran batokromik (pergeseran merah) (Supratman, 2010: 20). Untuk transisi terjadi  $n \longrightarrow \pi^*$  dikarenakan adanya gugus Ausokrom atau gugus jenuh yang mengandung elektron bebas contohnya C=O dan -OH (Supratman, 2010: 19).

**c). Spektrofotometer FTIR (*Fourier Transform InfraRed*)**

Spektrofotometer FTIR (*Fourier Transform InfraRed*) merupakan instrumen yang menunjang dalam menentukan gugus fungsi suatu senyawa. Spektrum FTIR dalam mengidentifikasi gugus fungsi berdasarkan frekuensi vibrasi yang spesifik atau tergantung dari jenis gugus fungsinya. Spektrum FTIR dalam menganalisa dilakukan pada bilangan gelombang 667-4000  $\text{cm}^{-1}$  (Supratman, 2010: 4). Hasil Spektrofotometer FTIR untuk semua ekstrak dan ekstrak tambahan, dapat dilihat pada Lampiran V.

Hasil FTIR menunjukkan adanya serapan panjang gelombang pada bilangan yang berbeda-beda. Untuk ekstrak gabungan didapatkan serapan lebar dan sedang terdapat pada bilangan panjang gelombang 3404.46  $\text{cm}^{-1}$  yang diindikasikan adanya gugus N-H. Hasil spektrum yang diindikasikan adanya gugus fungsi C=O pada bilangan panjang gelombang 1709.40  $\text{cm}^{-1}$  dengan serapan yang lemah. Untuk spektrum 2920.73  $\text{cm}^{-1}$  dan 2851.06  $\text{cm}^{-1}$  dengan serapan tajam dan intensitas sedang diindikasikan adanya ikatan C-H

( $\delta\text{CH}_3$  dan  $\delta\text{CH}_2$ ). Pada bilangan gelombang  $1081.71\text{ cm}^{-1}$  dengan serapan yang lemah diindikasikan adanya ikatan C-O. Diindikasikan adanya gugus aromatik dapat dilihat pada serapan panjang gelombang  $720.53\text{ cm}^{-1}$  dengan intensitas lemah menandakan adanya aromatik. Dapat dilihat pada Gambar 4.4 hasil spektrofotometer FTIR ekstrak gabungan.



**Gambar 4.4.** Hasil Spektrofotometer FTIR Ekstrak Gabungan

Hasil FTIR pada ekstrak metanol adanya serapan panjang gelombang dengan intensitas yang cukup lebar dan tajam pada  $3411.74\text{ cm}^{-1}$  diindikasikan adanya gugus O-H. Pada serapan panjang gelombang  $2928.48\text{ cm}^{-1}$  dengan serapan dan intensitas kecil mengindikasikan adanya ikatan C-H ( $\delta\text{CH}_3$ ). Adanya ikatan C-O untuk diindikasikan terletak pada bilangan panjang gelombang  $1053.32\text{ cm}^{-1}$  dengan serapan dan intensitas sedang dan gugus aromatik diindikasikan terdapat pada serapan panjang gelombang  $652.85\text{ cm}^{-1}$ .

Ekstrak etil asetat yang dianalisa dengan FTIR menunjukkan adanya serapan panjang gelombang  $3401.56\text{ cm}^{-1}$  dengan serapan lebar dan intensitas sedang yang diindikasikan adanya gugus N-H. Serapan panjang gelombang  $2923.12\text{ cm}^{-1}$  dan  $2852.09\text{ cm}^{-1}$  dengan serapan dan intensitas kuat diindikasikan adanya ikatan C-H ( $\delta\text{CH}_3$  dan  $\delta\text{CH}_2$ ). Pada bilangan panjang gelombang  $1709.05\text{ cm}^{-1}$  dengan serapan sedang dan intensitas kuat

diindikasikan adanya ikatan C=O. Sedangkan pada serapan panjang gelombang 720.53 dengan intensitas lemah diindikasikan adanya senyawa aromatik.

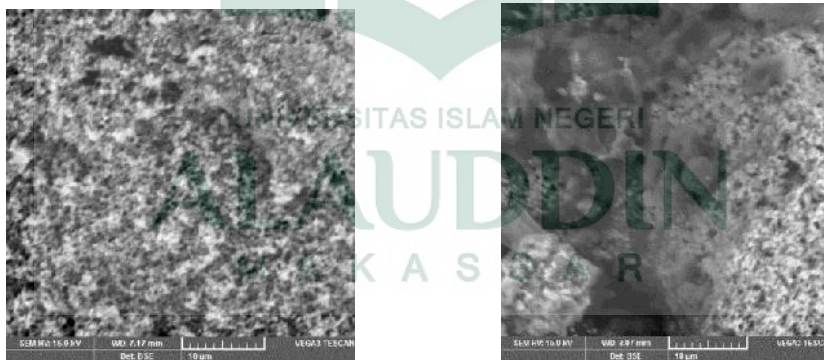
Pengujian FTIR pada ekstrak n-heksan menunjukkan adanya serapan sedang dan intensitas yang sedang terdapat pada bilangan panjang gelombang 2920.38  $\text{cm}^{-1}$  dan 2850.80  $\text{cm}^{-1}$  yang diindikasikan adanya ikatan C-H ( $\delta\text{CH}_3$  dan  $\delta\text{CH}_2$ ). Hasil spektrum yang diindikasikan adanya gugus fungsi C=O pada bilangan panjang gelombang 1736.69  $\text{cm}^{-1}$  dengan serapan yang lemah dan senyawa aromatik diindikasikan berada pada spektrum 723.79  $\text{cm}^{-1}$ . Pada ekstrak Gabungan, metanol, dan etil asetat rata-rata nilai efisiensi yang baik karena ditunjang oleh gugus-gugus kromofor yang menyerap sinar pada daerah ultraviolet seperti karbonil dan aromatik (C=C).

Selain gugus kromofor juga terdapat gugus-gugus ausokrom seperti -OH dan N-H menyebabkan penyerapan cahaya yang sebelumnya berada pada daerah ultraviolet berubah menjadi ultraviolet-visible dengan adanya tambahan gugus ausokrom sehingga menghasilkan nilai efisiensi yang baik. Sedangkan untuk ekstrak n-heksan hanya terdapat gugus kromofor yang hanya menyerap cahaya daerah sinar ultraviolet sehingga nilai efisiensi yang dihasilkan efisiensi yang lebih rendah dibandingkan ke tiga ekstrak tersebut. Hal tersebut membuktikan bahwa semakin banyak gugus kromofor dan ausokrom polar yang berkontribusi maka akan meningkatkan kemampuan dalam menyerap sebanyak-banyaknya panjang gelombang serta memberikan ikatan yang kuat dengan  $\text{TiO}_2$  sehingga akan menghasilkan nilai efisiensi yang lebih besar.

### 5. Morfologi $TiO_2$

Karakteristik morfologi dari  $TiO_2$  yang terikat dengan zat warna dapat dilihat dari Gambar 4.4(b). Hasil SEM pada Gambar 4.4(a) merupakan morfologi dari  $TiO_2$  dengan ukuran 20  $\mu m$ . Terlihat hasilnya menunjukkan bahwa ukuran partikel dari  $TiO_2$  masih tergolong besar yaitu skala mikrometer.

Hasil SEM Gambar 4.4 (b) menunjukkan penyebaran zat warna daun pare di atas permukaan  $TiO_2$  tidak merata. Terlihat bahwa zat warna tersebut ada yang mengalami adsorpsi dengan baik dan membentuk gumpalan yang menandakan zat warna tidak teradsorpsi. Dengan adanya gugus karbonil ( $C=O$ ) dan gugus hidroksil ( $-OH$ ) mengindikasikan terbentuknya ikatan yang kuat dengan permukaan  $TiO_2$ . Hal tersebut yang menyebabkan zat warna yang teradsorpsi dengan baik pada  $TiO_2$  sehingga menghasilkan nilai efisiensi yang lebih besar.



(a)

(b)

**Gambar 4.5.** Hasil SEM Permukaan  $TiO_2$ ; (a). Permukaan  $TiO_2$  (b). Permukaan  $TiO_2$  + Zat Warna

## **BAB V**

### **PENUTUP**

#### ***A. Kesimpulan***

Kesimpulan pada penelitian ini yaitu:

1. Nilai efisiensi ekstrak n-heksan, etil asetat, metanol, dan gabungan daun pare berturut-turut adalah 0,03%, 0,04%, 0,14%, dan 0,30%.
2. Kandungan senyawa dalam ekstrak kental daun pare memberikan pengaruh yang signifikan pada nilai efisiensi DSSC.

#### ***B. Saran***

Saran untuk peneliti selanjutnya yaitu perlunya menggunakan  $\text{TiO}_2$  nanopartikel sehingga penyerapan dengan zat warna lebih baik sehingga didapatkan efisiensi yang lebih tinggi dan dilakukan uji X-RD untuk mengetahui jenis bentuk  $\text{TiO}_2$ .

## DAFTAR PUSTAKA

Al-Qur'an al-Karim

Abdullah, Mikrajuddin dan Khairurrijal. "Review: Karakterisasi Nanomaterial". *Nanosains dan Nanoteknologi* 2, no. 1, Februari (1999): h. 1-9.

Agoes, Goeswin. *Teknologi Bahan Alam*. Bandung: ITB, 2007.

Agustina, Sustia, Doty Dewi dan Dyah. "Fabrikasi DSSC Berdasarkan Fraksi Volume TiO<sub>2</sub> Anatase-Rutile dengan *Gracinia Mangostana* dan *Rhoeo Spathacea* sebagai *Dye Sensitizer*". *Teknik Pomits* 2, no. 2, ISSN. 2337-3539 (2013): h. 131-136.

Ardianto, dkk. "Uji Kinerja *Dye Sensitized Solar Cell* (DSSC) Menggunakan Lapisan *Capacitive Touchscreen* Sebagai Substrat dan Ekstrak Klorofil *Nannochloropsis Sp.* Sebagai *Dye Sensitizer* dengan Variasi Ketebalan Pasta TiO<sub>2</sub>". *Keternakan Pertanian Tropis dan Biosistem* 8, no. 3, Oktober (2015): h. 324-337.

Arkundato, Artoto. "Modul 1: Produksi Cahaya". 2010.

Arrohmah. "Studi Karakteristik Klorofil pada Daun Sebagai Material *Photodetector Organic*". *Skripsi*. Surakarta: Fakultas Matematika dan Ilmu Pengetahuan Alam Universitas Sebelas Maret, 2007.

Bahreisy, Salim dan Said Bahreisy. *Tafsir Ibnu Katsier*, Jilid 4. PT. Bina Ilmu: Surabaya.

Baharuddin dkk. "Karakterisasi Zat Warna Daun Jati (*Tectona grandis*) Fraksi Metanol:*n*-Heksana sebagai *Photosensitizer* pada *Dye Sensitized Solar Cell*". *Chimica et Natura Acta* 3, no.1, April (2016).

Calogero, Giuseppe dkk. "Natural Dye Sentizer For Photoelektrochemical Cells" *Energy and Environment Science* 2, DOI.10.1039/b913248c (2009): h. 1162-117

Dahlan, Dahyunir, Tjiauw dan Hermansyah. "*Dye Sensitized Solar Cell* (DSSC) dengan *Dye Sensitizer* alami Daun Pandan, Akar Kunyit dan Biji Beras Merah". *Ilmu Fisika* (JIF) 8, no. 1, Maret (2016): h. 1-8.

Evitasari, Dyah Ayu. "Daya Hambat Ekstrak Etanol Daun Pare Terhadap Pertumbuhan Jamur". *Skripsi*. Jember: Universitas Jember, 2011.

Gratzel M dan Brian O'Regan. "A Low-Cost, High-effeciency Solar Cell Based on *Dye-Sensitized Colloidal TiO<sub>2</sub> Film*". *Nature* 253, October (1991): h. 737-739.

Gratzel, M. "*Dye-Sensitized Solar Cell*". *Photochemistry and Photobiological* 4, (2003): h. 154-153.

Handoko, Papib dan Yunie Fajariyanti. "Pengaruh Spektrum Cahaya Tampak Terhadap Laju Fotosintesis". (2010): h. 1-9.



- Hamka. *Tafsir Al-Azhar*. Pustaka Nasional Pte Ltd: Singapura, 1987.
- Harborne, J.B. Phytochemical methods. Terj. Kosasih Padmawinata dan Iwang Soediro. *Metode Fitokimia: penuntun cara modern menganalisis tumbuhan*. Bandung: ITB, 1987.
- Hussain, Syed Zainer dan Khushnuma Maqbool. "GC-MS: Priciple, Technique and its Application in Food Science". *Internasional Jurnal CURR SCI* 13 (2014): h. 116-126.
- Hutapea, Elvi Rasida Florentina, Laura Olivia Siahandan Rondang Tambun. "Ekstraksi Pigmen Antosianin Dari Kulit Rambut Dengan Pelarut Metanol". *Teknik Kimia* 8, no. 2 (2014).
- Ilyas, Asriani. *Kimia Organik Bahan Alam*. Makassar: Alauddin University Press, 2013.
- Istiqamah. "Perbandingan Metode Maserasi dan Ekstraksi Terhadap Kadar piperin Buah Cabe Merah". *Skripsi*. Jakarta: Universitas Islam Negeri Syarif Hidayatullah, 2013.
- Jitputti, Jaturong, dkk. "Synthesis of TiO<sub>2</sub> Nanotubes Photocatalytical Activity for H<sub>2</sub> Evolution". *Japanese Journal of Applied Physic* 47, no. 8, (2008).
- Jeol. *Scanning Electron Microscope A To Z: Basic Knowledge For Using The SEM*. (2009).
- Li, Na dkk. "Natural Dye-Sensitized Solar Cells Based on TiO<sub>2</sub> Nanotube Arrays". *Material Research Innovation* 18, DOI. 10.1179/1432891714Z.000000000640 (2014): h. 18-21.
- Kim, H, dkk. "Indium Tin Oxide Thin Film Grown on Flexible Plastic Substrates by Pulsed-Laser Deposition For Organic Light-Emitting Diodes". (2001).
- Kumara, Maya Skma Widya dan Gotjang Prajitno. "Studi Awal Fabraksi DSSC Dengan Menggunakan Ekstraksi Daun Bayam Sebagai *Dye Sensiizer* Dengan Variasi Jarak Sumber Cahaya Pada DSSC". (2012)
- Kementrian Agama. "Al-Qur'an dan Tafsirnya Jilid VII". Yogyakarta: PT. Dana Bhakti Wakaf, 1990.
- Kementrian Energi dan Sumber Daya Mineral. "Statistik Listrik". (2012)
- Kementrian Energi dan Sumber Daya Mineral. "Statistik Minyak Bumi". (2014)
- Kholiq, Imam. "Pemanfaatan Energi Alternatif Sebagai Energi Terbarukan Untuk Mendukung Subsidi BBM." *Jurnal IPTEK* 19, no. 2 (2015): h. 75-91.
- Kristianingrum, Susila. "Handout Spektroskopi Ultra Violet dan Sinar Tampak (Spektroskopi UV-Vis)". Universitas Negeri Yogyakarta, (2013).
- Liun, Edward. "Potensi Energi Alternatif dalam Sistem Kelistrikan Indonesia". *Pusat Pengembangan Energi Nuklir-BATAN*, ISSN. 1979-1208 (2013): h. 311-322.
- Li, Longwei, dkk. "Synthesis of Dispersed Long Single-Crystalline TiO<sub>2</sub> Paste and its Application in DSSC as a Scattering Layer". *Springer Volume* 58, April (2015): h. 1501-1507.

- Liu, Min, dkk. "A Study on the Variation of DSSC Parameters Under  $\gamma$  Irradiation". *Springer* Volume 308, Agustus (2016): h. 631-637.
- Maddu, Akhiruddin, dkk. "Penggunaan Ekstrak Antosianin Kol Merah Sebagai Fotosensitizer pada Sel Surya  $\text{TiO}_2$  Nanokristal yang Tersensitasi Dye". *Makara, Teknologi* 11, no. 2 (2007): h. 78-84.
- Manan, Saiful. "Energi Matahari Sumber Energi Alternatif Yang Efesien Handal dan Ramah Lingkungan di Indonesia. *Teknik Elektro* (2012): h. 31-35.
- Mintorogo, Danny Santoso. "Strategi Aplikasi Surya Pada Perumahan dan Bangunan Komersial". *Teknik* 28, no. 2 (2000).
- Muhlis. "Ekstraksi Zat Warna Alami Kulit Batang Jombang Sebagai Bahan Dasar Pewarna Tekstil". (2010).
- Mukhriani. "Ekstraksi Pemisahan Senyawa dan Identifikasi Senyawa Aktif". *Kesehatan* VII, no. 2 (2014): h. 361-367.
- Mutiara, Erlita Verdia dan Achmad Wildan. "Ekstraksi Flavonoid dari Daun Pare Berbantu Gelombang Mikro Sebagai Penurun Kadar Glukosa Secara Invitro". *Metana* 10, no. 1 (2014): h. 1-11.
- Musila, Alphin S dan Elisabeth T. "Analisis Pengaruh Disain Kontak Atas Pada Peningkatan Efisiensi Sel Surya". *Teknologi* 9, no. 1 (2012): h. 995-1001.
- Mustofa. "Efek Spektrum Cahaya Terhadap Pertumbuhan *Gracilaria Verrucosa*". *Skripsi* (2013).
- Moulana R, dkk. "Efektivitas Penggunaan Jenis Pelarut dan Asam Dalam Proses Ekstraksi Pigmen Antosianin Kelopak Bunga Rosella". *Teknologi dan Industri Pertanian Indonesia* 4, no. 3 (2012): h. 20-25.
- Nuryadi, Ratno. "Efek Adsorpsi Dye ke dalam  $\text{TiO}_2$  dengan Metode Elektroforesis: DSSC Berbasis dengan Metode *Slip Casting* dan Metode Elektroforesis". *Rekayasa Kimia dan Lingkungan* 8, no. 1 (2011): h. 35-40.
- Octaviani, Try, Any Gurtanti, Hari Susanti. "Penetapan kadar  $\beta$ -Karoten Beberapa Jenis Cabe Dengan Metode Spektrofotometer Tampak". *Farmasi* 4, no. 2 (2014).
- Pan Xu, dkk. "Ionic Lliquid Crystal-Based Electrolyte with Enhanced Charge Transport for DSSC". *Springer* Volume 56, September (2013): h. 1463-1469.
- Prayogi, Devin Sidik dan Laeli Yasiroh. "SSC (*Smart Sollar Cell*) Dengan Menggunakan Ekstrak Antosianin Daun Buah Rambutan Sebagai Fotosentizer Pada Sel Surya  $\text{TiO}_2$  Nanokristal Tersensitasi Dye". *Skripsi*. Semarang: Universitas Negeri Semarang, 2015.
- Rachmawati, Sri, dkk. "Kandungan Kimia Daun Pare (*Momordica Charantia* Lin) dan Efek Antelmintik Terhadap Cacing Lambung". *Seminar Nasional Teknologi dan Peternakan*, (2001): h. 722-729.
- Radwan, Islam Mahmoud. "Dye Sensitized Solar Cells Based on Natural Dye Ekstracted From Plant Roots". *Skripsi*. Palestina: Islamic University of Gaza, 2015.

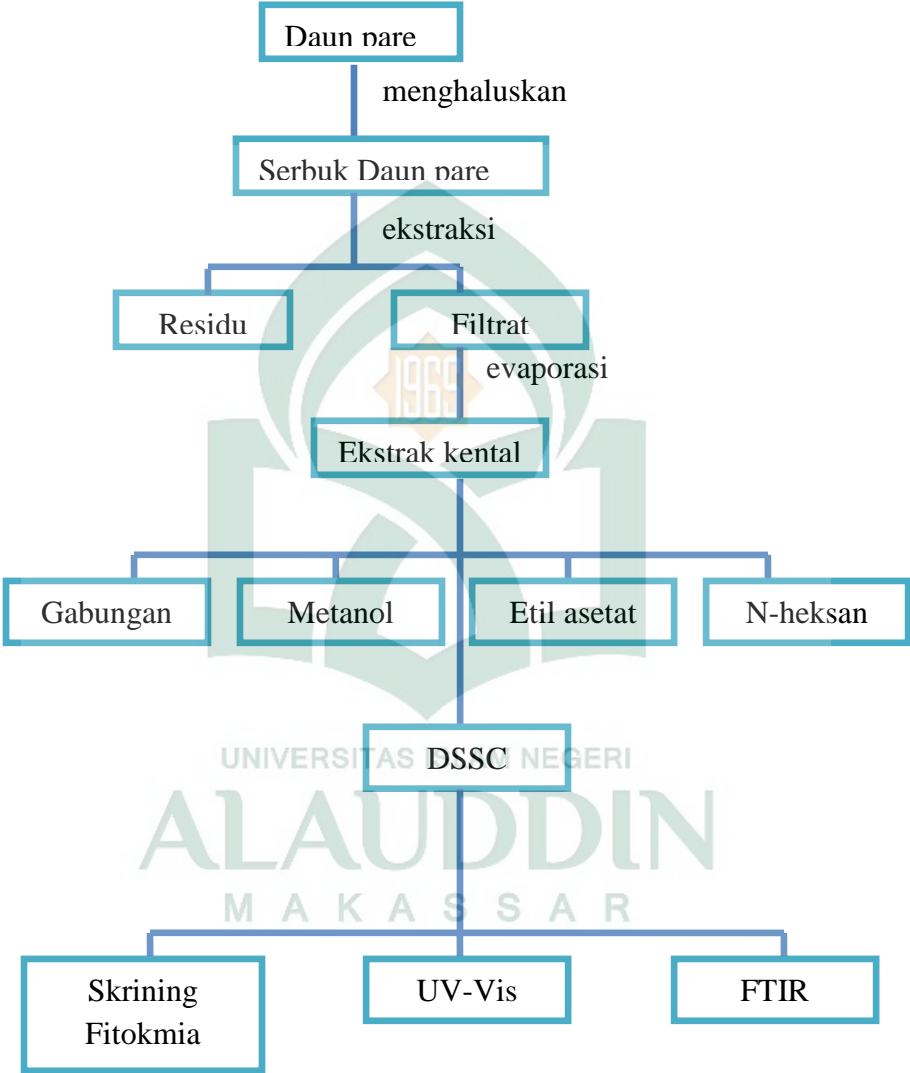
- Raharjo, Tri Joko. *Kimia Bahan Alam*. Yogyakarta: Tata Askara, 2013.
- Rahmawati, Suciana. "Produksi Unggul Benih Tanaman Pare Unggul di Multi Global Agrindo Karangpandan Karanganyar". *Skripsi*. Surabaya: Universitas Sebelas Maret, 2010.
- Rita, dkk. "Aktivitas Antikanker dan Kandungan Kimia Ekstrak Kayu Teras Suren". *Ilmu dan Teknologi Kayu Tropis* 10, no. 1 Januari (2012).
- Ren, Y, dkk. "A Dye-Sensitized Nanoporous TiO<sub>2</sub> Photoelectrochemical with Novel Gel Network Polymer Electrolyte". *Applied Electrochemistry* 31 (2001): h. 445-447.
- Reza, Ghiasi, Mahbobeh Manoochehri, dan Reihaneh Lavasani. "DFTI and TD-DFT Study of Benzene and Borazines Containing Chromophores for DSSC Materials". *Springer Volume* 61, Januari (2016): h. 1267-1273.
- Sahil, Kataria, dkk. "Gas Chromatografi-Mass Spectrofotometry: Applications". *International Journal of Pharmaceutical and Biology Archives* 2, no. 6 (2011): h. 1544-1560.
- Samson, Efraim, dkk. "Analisa Kandungan Karotenoid Ekstrak Kasar Buah Pisang Tongkat Langit dengan Menggunakan Spektroskopi NIR". *Ter Med* 8, no. 1, Januari (2012): h. 17-21.
- Saraswati, Niken Dian dan Suci Epri Astutik. "Ekstraksi Zat Warna Alami Dari Kulit Manggis Serta Uji Stabilitasnya". (2012).
- Sahra, Rahmatun, "Fraksinasi Senyawa Aktif Berefek Antibakteri Terhadap *Salmonella Thyposa* dari Ekstrak Etil Asetat Daun Sawo Manila (*Manilkara Zapota*)", *Skripsi*. Makassar: Fakultas Farmasi UNHAS Makassar (2014): h. 1-54.
- Shihab, M. Quraish. *Tafsir Al-Misbah Pesan dan Keselarasan al-Qur'an*, vol. 8, 15 dan 18. Jakarta: LenteraHati, 2002.
- Silverstain, Robert, Francis X. Webster dan David J. Kiemle. *Spectrometric Identification of Organic Compounds*. 2009.
- Sitorus, Marham. *Spektroskopi Elusidasi Struktur Molekul Organik*. Yogyakarta: Graha Ilmu, 2009.
- Subramania, A, dkk. "Effect of Different Composition of Ethylene Carbonate and Propylene Carbonate Containing Iodide/Triiodide Redox Elctrolyte on the Photovoltaic Performance of DSSC". *Ionic* Volume 19, Maret (2013): h. 1649-1653.
- Sunardi dan Kartika Sari. "Pengaruh Waktu Milling Titanium Dioksida Doping Dye Tectona Grandis Terhadap Sifat Listrik Solar Sel". *Salatiga* 5, no.1 (2014): h. 322-325.
- Sjahfirdi, Luthfirada, dkk. "Aplikasi *Fourier Transform Infrared* (FTIR) dan Pengamatan Pembengkakan Gental pada Spesies Primata Lutung Jawa Untuk Mendeteksi Masa Subur. *Kedokteran* 9, no. 2 (2015): h. 155-160.
- Supratman, Unang. *Elusidasi Struktur Organik*. Bandung: Unpad, 2010.

- Suprianto. "Potensi Daun Biduri (*Calotropis gigantea*) Sebagai Bahan Aktif Dye Sensitized Solar Cell (DSSC)". *Natural Science* 5, no. 2, ISSN. 2338-0950, Agustus (2016): h. 132-139.
- Sutrisno, Hari. "Sel Fotovoltaik Generasi ke-III: Pengembangan Sel Fotovoltaik Berbasis Titanium Dioksida". *Seminar Nasional Penelitian, Pendidikan dan Penerapan MIPA*, (2010): h. 115-122.
- Timuda, Giralda Ensang. "Sintesis Nanopartikel TiO<sub>2</sub> dengan Metode Sonokimia untuk Aplikasi Sel Surya Tersensitasi Dye (DSSC) Menggunakan Ekstrak Kulit Manggis dan Plum sebagai Photosensitizer". *Thesis*, Bogor: Institut Pertanian Bogor, 2009.
- ThermoSpectronic. "Basic UV-Vis Theory, Concepts and Applications". (2010)
- Trianiza, Ice dan Gatut Yudoyono. "Fabrikasi DSSC Dengan Teknik Pelapisan Spin Coating Menggunakan Kaca ITO dan FTO Sebagai Substrat dan Variasi Jahe Merah (*Zingiber Officinale Var Rubrum*) Sebagai Dye Sensitizer". *Jurusan Fisika Fakultas IPA Institut Teknologi Sepuluh Nopember* (2012): h. 1-8.
- Wiradinata, Romi, Ali Imrondan Ri Munarto. "Studi Pemnafaatan Energi Matahari di Pulau Panjang Sebagai Pembangkit Listrik Alternatif". *SETRUM* 2, no. 1 (2013): h. 6-15.
- Zahrok, Zid Latifataz dan Gotjang Prajitno. "Ekstrak Buah Murbei sebagai Sensitizer Alami Dye-Sensitized Solar Cell (DSSC) menggunakan Substrat Kaca ITO dengan Teknik Pelapisan Spin Coating". *Sains dan Seni ITS* 4, no. 1 (2015): h. 26-31.
- Zhang, Yuyuan, dkk. "Preparation and Photocatalytic Performance of Anatase/Rutile Mixed-Phase TiO<sub>2</sub> Nanotube". *Catal lett* 139, DOI. 10.1007/s105 62-010-0425x (2010): 129-133.

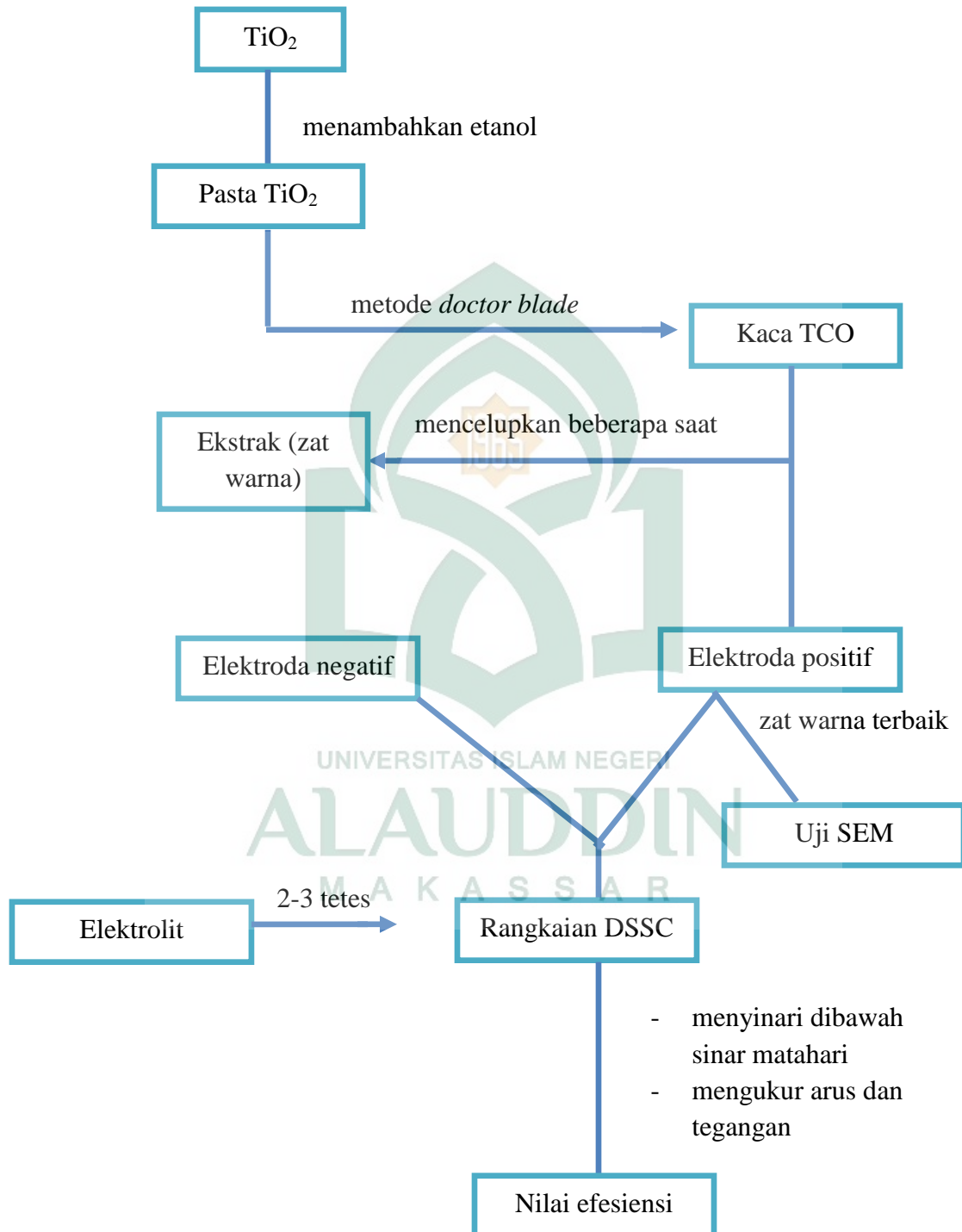
Lampiran I

**DIAGRAM ALIR PENELITIAN SECARA UMUM**

1. Ekstraksi dan Karakterisasi Daun Pare

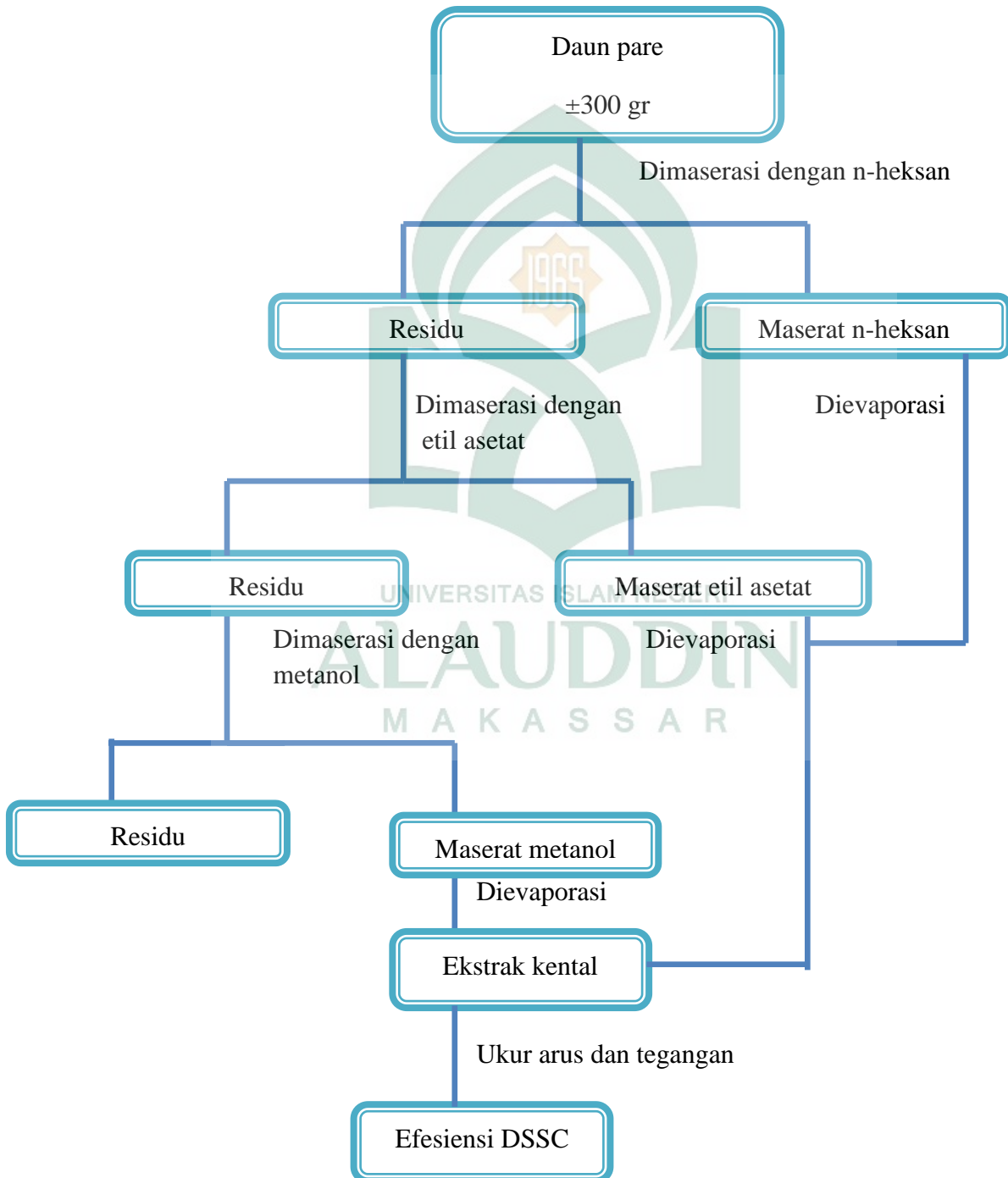


## 2. Pembuatan dan Pengujian DSSC secara umum



## DIAGRAM ALIR PROSEDUR KERJA

### 1. Ekstraksi Senyawa pada Daun Pare



## 2. Preparasi TiO<sub>2</sub>

±1 gr TiO<sub>2</sub>  
catalog 7508

- Larutkan dengan 1 mL etanol

Pasta TiO<sub>2</sub>

## 3. Pembuatan Larutan Elektrolit

Kalium Iodida

- Timbang 0,83 gr
- Tambahkan 0,127 gr Iod, dilarutkan dalam 10 mL aquades

Larutan elektrolit

## 4. Pembuatan Elektroda Pembanding

Kaca TCO

- Bersihkan kaca TCO, keringkan
- Panaskan di atas lilin hingga terbentuk pada kaca warna hitam

Elektroda pembanding



## 5. Rangkaian DSSC

### Kaca TCO

- Bersihkan kaca TCO, keringkan
- Tutup salah satu sisi dengan isolasi bening

### Elektroda kerja

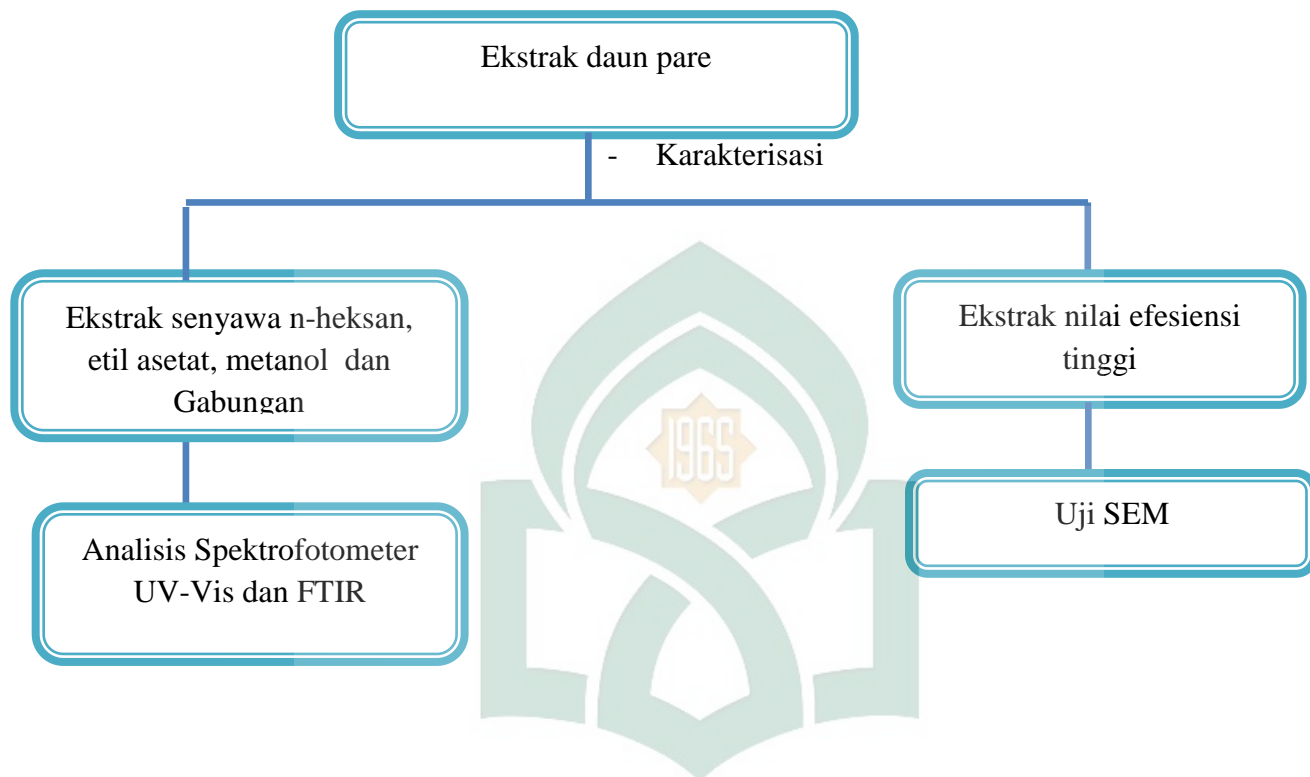
- Lapisi dengan pasta  $\text{TiO}_2$
- Tetesi dengan ekstrak kental
- Diamkan beberapa menit
- Tetesi dengan larutan elektrolit
- Tutup dengan elektroda pembanding

### Perangkat DSSC

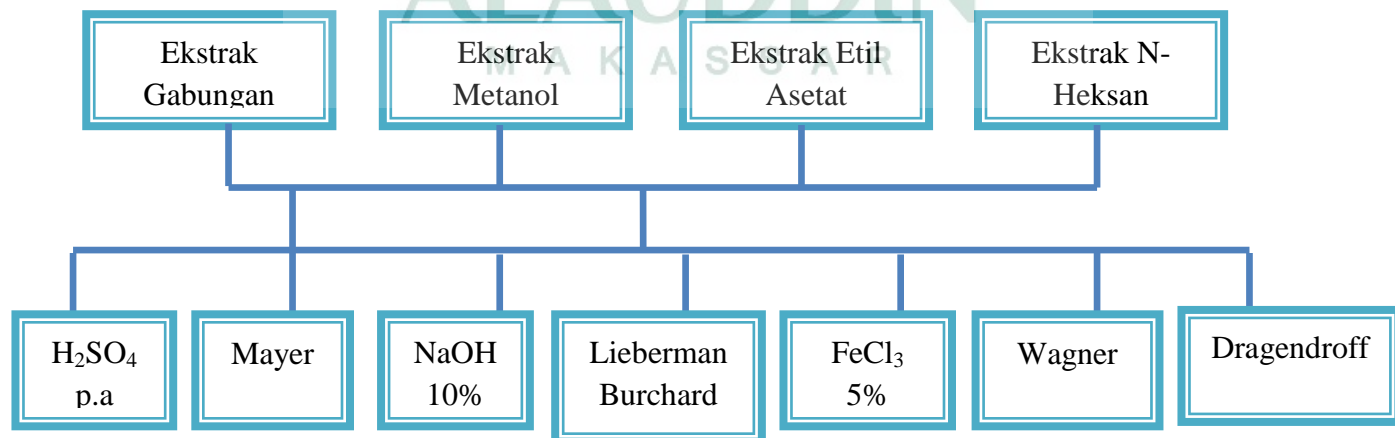
- Pasang multimeter di sisi anoda dan katoda
- Sinari dengan cahaya matahari
- Ukur tegangan dan arus
- Kontrol hambatan menggunakan potensiometer
- Ukur daya yang masuk dengan *light meter*

### Efisiensi DSSC

## 6. Karakterisasi Senyawa Ekstrak Daun Pare



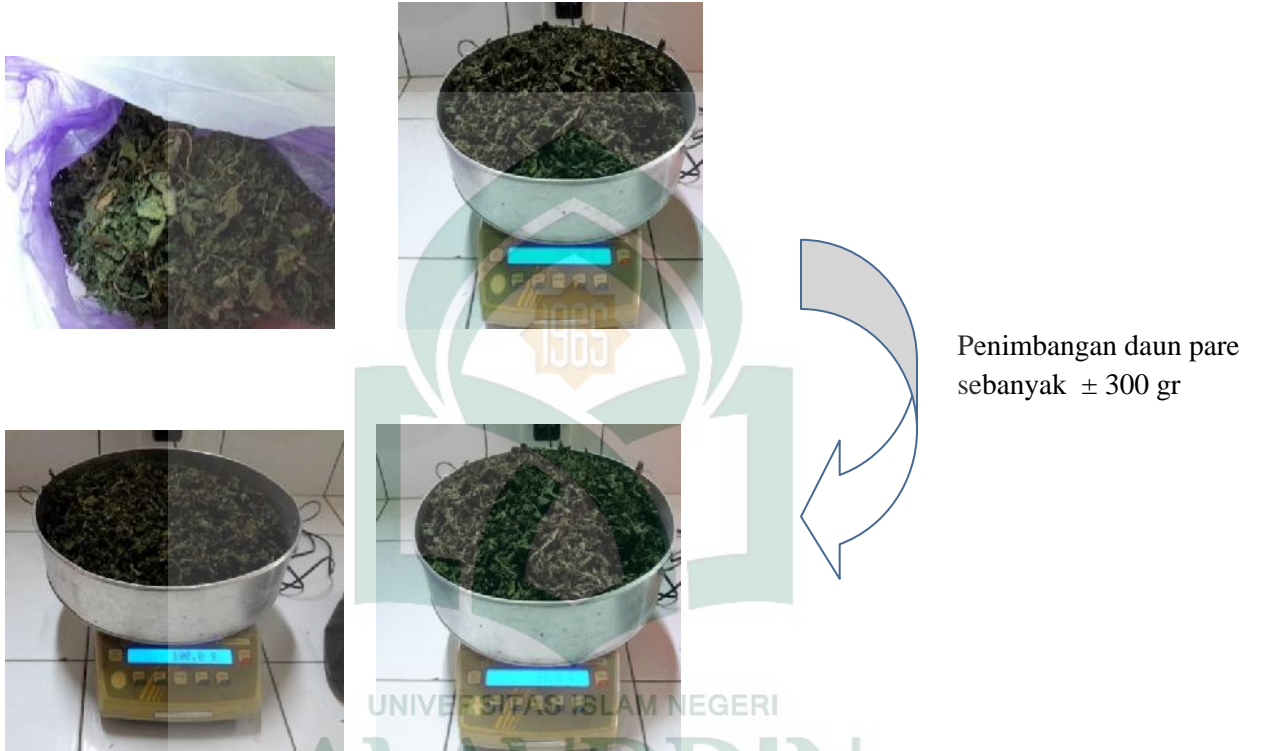
## 7. Uji Skrining Fitokimia



Lampiran III

GAMABR PENELITIAN

1. Ekstraksi Daun Pare (*Momordica Charantia*)



Penimbangan daun pare sebanyak  $\pm 300$  gr



Maserat n-heksan



Maserat etil asetat



Maserat metanol



Proses *Evaporation*



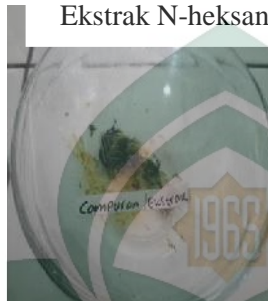
Ekstrak N-heksan



Ekstrak Metanol



Ekstrak Etil Asetat



Ekstrak Gabungan

## 2. Pembuatan Elektrolit



Kalium Iodida



Iod

### 3. Pembuatan elektroda



Penimbangan  $\text{TiO}_2$



Pasta  $\text{TiO}_2$



Sintering  $\text{TiO}_2$



Pelapisan  $\text{TiO}_2$  metode *Doctor Blade*



### 4. Pembuatan Elektroda pembanding



Pengukuran hambatan



Panaskan kaca ITO di atas api



Elektroda pembanding

## 5. Ekstrak + TiO<sub>2</sub>



TiO<sub>2</sub> + Ekstrak Gabungan



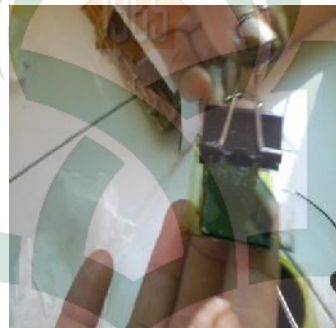
TiO<sub>2</sub> + Ekstrak N-heksan



TiO<sub>2</sub> + Ekstrak Metanol



TiO<sub>2</sub> + Ekstrak Etil Asetat



UNIVERS *Sandwich* DSSCEGERI

## 6. Analisis FTIR



Gerus sampel dan  
KBr



Pembuatan pelet

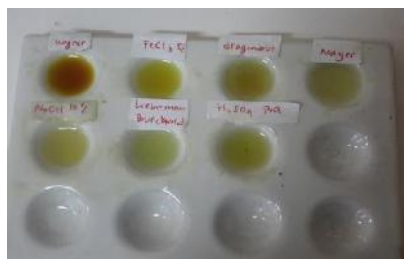


Pembacaan detektor

## 7. Skrining Fitokimia



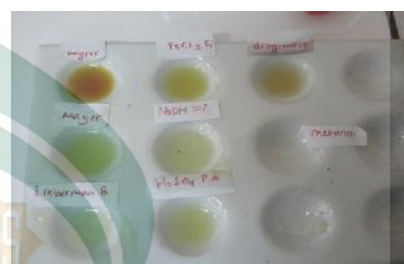
Ekstrak Gabungan



Hasil Uji Skrining Fitokimia



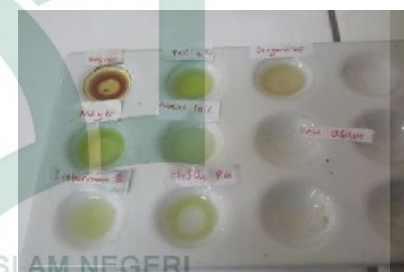
Ekstrak Metanol



Hasil Uji Skrining Fitokimia



Ekstrak Etil Asetat



Hasil Uji Skrining Fitokimia



Ekstrak N-Heksan

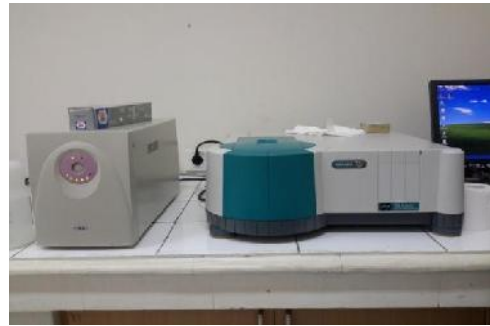


Hasil Uji Skrining Fitokimia

## 8. Analisis UV-vis

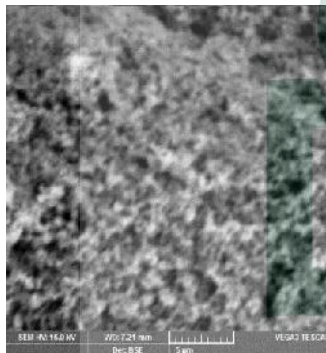


Ekstrak yang akan dianalisis

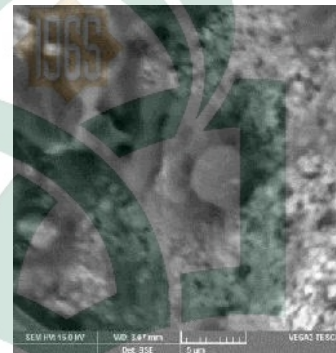


Dianalisis dengan Spektrofotometer UV-Vis

## 9. Uji SEM



Hasil uji SEM  $\text{TiO}_2$



Hasil uji SEM  $\text{TiO}_2$  +  
Zat Warna



Lampiran IV

**HASIL PENGUKURAN SEL SURYA ORGANIK**

**1. Hasil Pengukuran Sel Surya Organik pada Ekstrak Gabungan Daun Pare**

<b>V (mV)</b>	<b>I (mA)</b>	<b>Pin (mwatt/cm<sup>2</sup>)</b>	<b>Pout/Pmax (nW)</b>	<b>Pout/Pmax (mW)</b>	<b>η</b>
519.0	10.8	0.1215203	56050.0	0.0056052	0.0461256267
509.0	10.6	0.1215203	5395.40	0.0053954	0.0443991662
497.0	10.3	0.1215203	5119.10	0.0051191	0.0421254720
494.0	12.5	0.1215203	61750.0	0.0061750	0.0508145553
487.0	16.6	0.1215203	80840.0	0.0080842	0.0665255106
476.0	22.5	0.1215203	10710.0	0.0107100	0.0881334230
445.0	44.3	0.1215203	19713.5	0.0197135	0.1622239250
428.0	49.0	0.1215203	20972.0	0.0209720	0.1725802190
368.0	98.9	0.1215203	36395.2	0.0363952	0.2994989310
215.0	109.4	0.1215203	23521.0	0.0235210	0.1935561380
130.0	114.0	0.1215203	14820.0	0.0148200	0.1219549330
105.0	104.8	0.1215203	11004.0	0.0110040	0.0905527718
97.0	100.7	0.1215203	9767.90	0.0097679	0.0803808088
91.0	94.5	0.1215203	8599.50	0.0085995	0.0707659543

## 2. Hasil Pengukuran Sel Surya pada Ekstrak Metanol Daun Pare

V (mV)	I (mA)	Pin (mwatt/cm <sup>2</sup> )	Pout/Pmax (nW)	Pout/Pmax (mW)	η
472	9.9	0.12488773	4672.8	0.0046728	0.03741600556
471	10.6	0.12488773	4992.6	0.0049926	0.03997670548
468	12.4	0.12488773	5803.2	0.0058032	0.04646733510
462	12.8	0.12488773	5913.6	0.0059136	0.04735132907
457	13.1	0.12488773	5986.7	0.0059867	0.04793665479
451	14.3	0.12488773	6449.3	0.0064493	0.05164078168
443	16	0.12488773	7088.0	0.007088	0.05675497505
435	17.9	0.12488773	7786.5	0.0077865	0.06234799848
425	19.3	0.12488773	8202.5	0.0082025	0.06567899024
327	19.6	0.12488773	6409.2	0.0064092	0.0513196933
249	26.6	0.12488773	6623.4	0.0066234	0.05303483377
229	31.5	0.12488773	7213.5	0.0072135	0.05775987761
213	81.1	0.12488773	17274.3	0.0172743	0.13831863230
117	87.9	0.12488773	10284.3	0.0102843	0.08234836200
114	97.5	0.12488773	11115.0	0.0111150	0.08899993618
111	114.4	0.12488773	12698.4	0.0126984	0.10167852360
108	118.8	0.12488773	12830.4	0.0128304	0.10273547290
82	119	0.12488773	9758.0	0.0097580	0.07813417699

### 3. Hasil Pengukuran Sel Surya pada Ekstrak Etil Asetat Daun Pare

V (mV)	I (mA)	Pin (mwatt/cm <sup>2</sup> )	Pout/Pmax (nW)	Pout/Pmax (mW)	η
152	3.2	0.114053	486.4	0.0004864	0.004264669
150	3.1	0.114053	465.0	0.0004650	0.004077038
142	3.7	0.114053	525.4	0.0005254	0.004606614
140	3.9	0.114053	546.0	0.0005460	0.004787232
125	5.6	0.114053	700.0	0.0007000	0.006137476
114	6.6	0.114053	752.4	0.0007524	0.006596910
114	43	0.114053	4902.0	0.0049020	0.042979871
76	51.6	0.114053	3921.6	0.0039216	0.034383897
51	51	0.114053	2601.0	0.0026010	0.022805109
49	50.3	0.114053	2464.7	0.0024647	0.021610055

$$\eta = \frac{P_{out}}{P_{in}} 100\%$$

$$\eta = \frac{V_{max} \cdot I_{max}}{M \cdot L} 100\%$$

$$\eta = \frac{114 \text{ mV} \cdot 43 \mu\text{A}}{7790 \times 0,1464 \cdot 10^{-7} \frac{\text{mW}}{\text{cm}^2} \cdot 1 \text{ cm}^2} 100\%$$

$$\eta = \frac{4902,0 \text{ mWatt}}{0,1140534 \text{ mWatt}} 100\% \quad \eta = 0.0429799\%$$

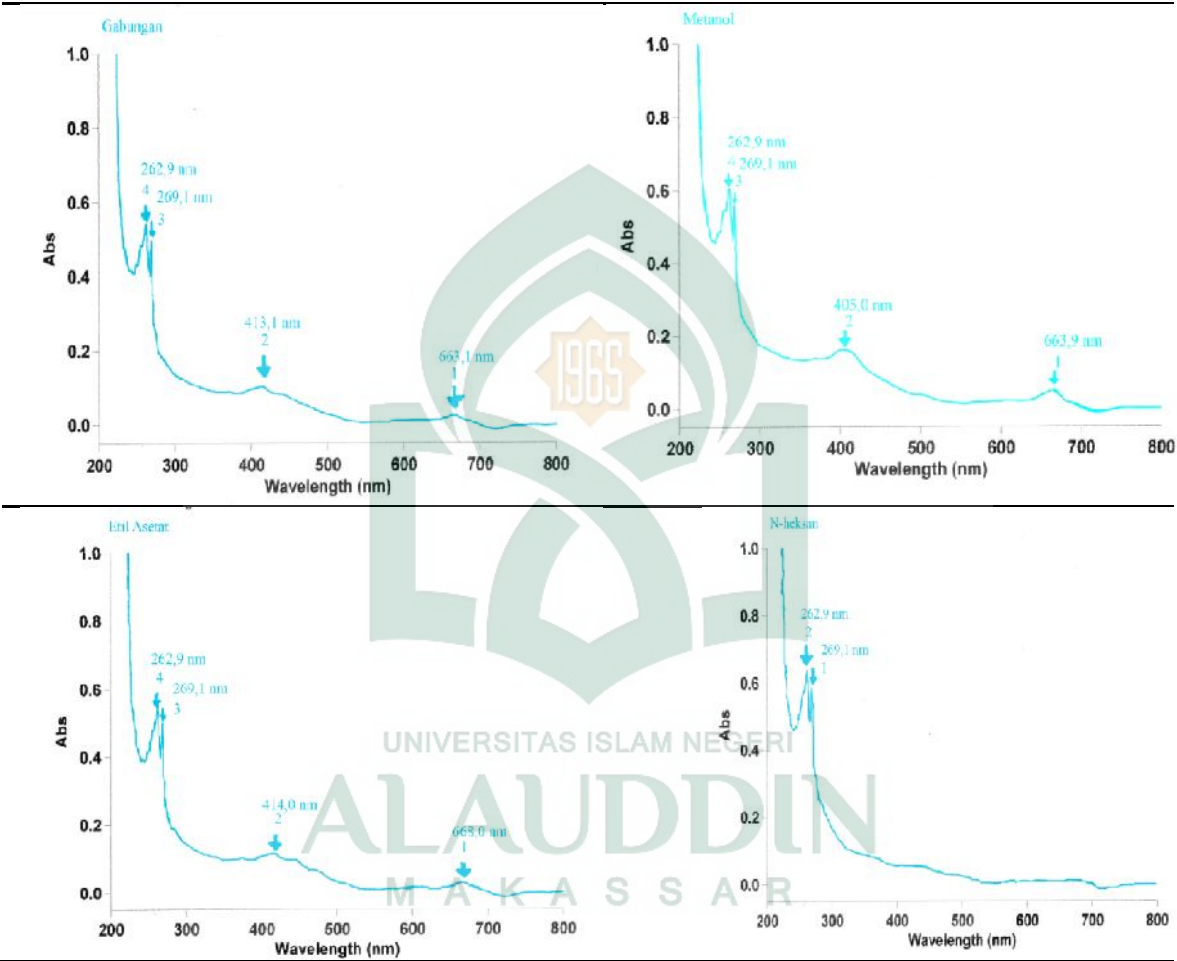
Ket: M = 1 lux = 1,464. 10<sup>-7</sup> W/M<sup>2</sup>.

#### 4. Hasil Pengukuran Sel Surya pada Ekstrak N-heksan Daun Pare

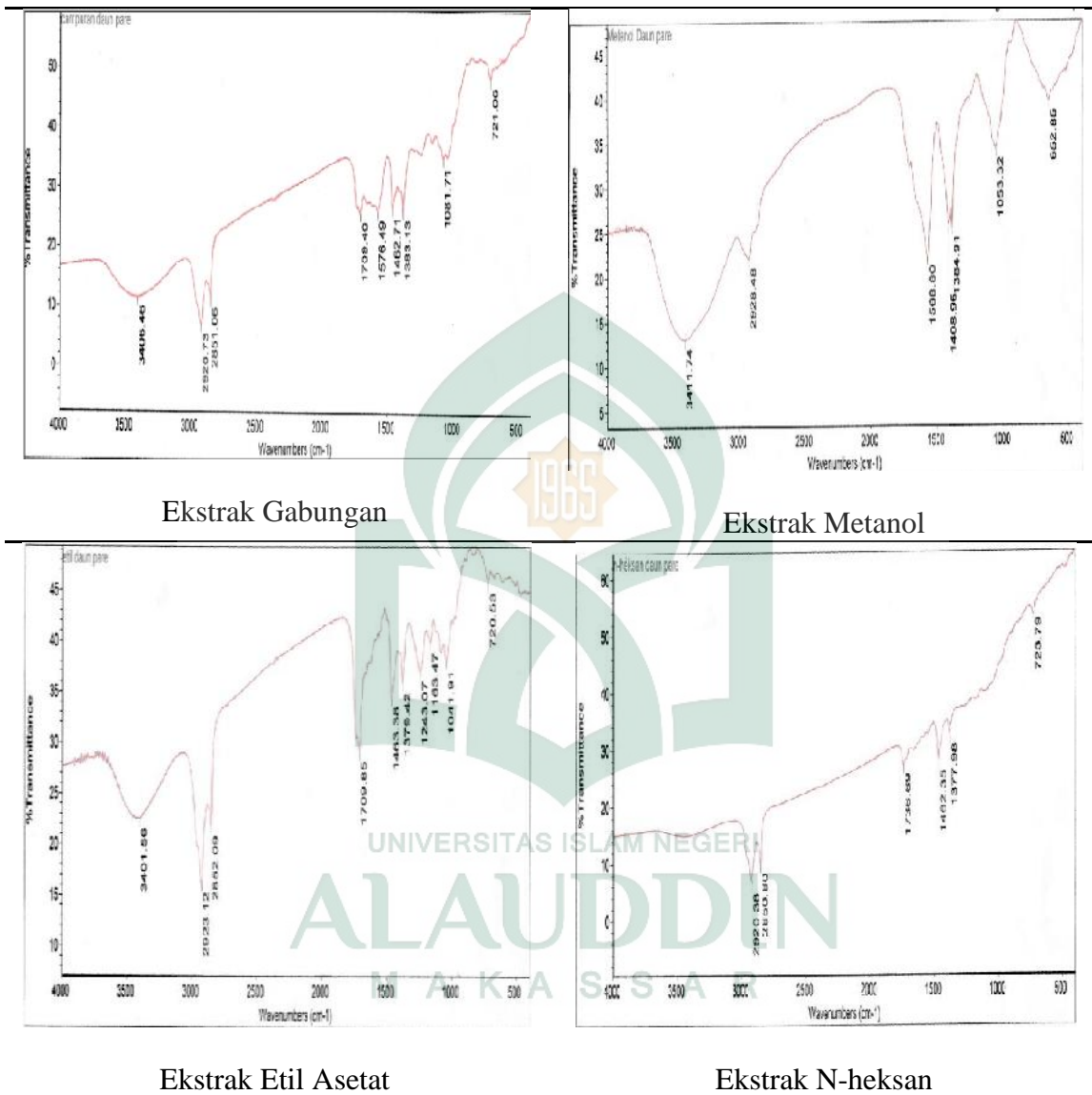
V (mV)	I (mA)	Pin (mwatt/cm <sup>2</sup> )	Pout/Pmax (nW)	Pout/Pmax (mW)	$\eta$	V (mV)
169	2.7	92200	0.13499	456.3	0.0004563	0.00338024989
166	4	92200	0.13499	664.0	0.000664	0.00491888215
162	5.9	92200	0.13499	955.8	0.0009558	0.00708052343
153	7.3	92200	0.13499	1116.9	0.0011169	0.00827394499
151	10.9	92200	0.13499	1645.9	0.0016459	0.01219275321
127	17.7	92200	0.13499	2247.9	0.0022479	0.01665234215
125	23.6	92200	0.13499	2950.0	0.0029500	0.02185346739
117	34.7	92200	0.13499	4059.9	0.0040599	0.03007555670
115	35.1	92200	0.13499	4036.5	0.0040365	0.02990221055
79	48.5	92200	0.13499	3831.5	0.0038315	0.02838357976
54	51.1	92200	0.13499	2759.4	0.0027594	0.02044151116
48	50.2	92200	0.13499	2409.6	0.0024096	0.01785020848

Lampiran V

1. Hasil Uji Spektrofotometer UV-Vis



## 2. Hasil Uji FTIR



## RIWAYAT HIDUP



Wahidah Febriya Ramadhani lahir di kota makassar pada tanggal 01 februari 1996, anak ke 7 dari 7 bersaudara dari pasangan Alm. H. Kamaruddin dan HJ. Rugayyah. Penulis memulai jenjang pendidikannya pada tahun 2001 di SDN Minasa Upa dan lulus pada tahun 2007. Kemudian melanjutkan pendidikan di smp unismuh makassar dan berhasil lulus pada tahun 2010. pada tahun yang sama, penulis melanjutkan sekolah di SMA Muhammadiyah 1 Unismuh Makassar dan berhasil lulus pada tahun 2013. Pada tahun 2013, penulis kembali melanjutkan pendidikannya ke jenjang S1. tepatnya di Jurusan Kimia Fakultas Sains dan Teknologi Universitas Islam Negeri Alauddin Makassar. penulis berhasil menyelesaikan studinya dan meraih gelar sarjana sains (S.Si) pada tanggal 20 oktober 2017.

UNIVERSITAS ISLAM NEGERI  
**ALAUDDIN**  
M A K A S S A R